

CZ Hold

IV-4154

1938

$\text{C}_2\text{H}_2\text{O}$ ($2\text{c-c}; 2\text{c-o}$)

PCl_3 ($2\text{p-ce}; 2\text{p-s}; 1\text{CPCl}$)

Beach J. A., Stevenson, W. E.

J. Chem. Phys. 1938, 2, 75-80

"The electron-diffraction investigation of the molecular structures of ketene and thiophosphoryl chloride"



10 1

C.A., 1938, 2, 31⁴

10

IV-4153 1950

H₂CCO, HDCCO, D₂CCO (no a. ephydrogen)

Bak B., Knudsen E.S., Madsen E.,
Rastup-Anderesen J.

Phys. Rev., 1950, 79, 190

Preliminary analysis of the microwave
spectrum of ketene.

10

CA, 1950, 44, 8775 f

IV-4159 1951

H₂C₂O, HDC₂O, D₂C₂O (ω_e)

Johnson H.R., Strandberg M.W.P.

Mass. Inst. Technol. Research Lab.,
Electronics Tech. Rept. 1951, N 192,
20 pp.

Microwave ...

C₂H₂O

J

$\text{C}_2\text{H}_2\text{O}$ (I)

IV - 4168

1351

Price W.C., Teehan J.P., Walsh A.D.

J. Chem. Soc., 1951, 920-6

The absorption spectrum of ketene in
the far ultraviolet

2

10

C.A. 1951, 60558

IV-4155T 1952

CH₂CO, F₂CO, C₂F₄ (molecular asymptote)

Brown T.T., Livingston R. L.

J. Am. Chem. Soc., 1952, 74, 6084-91.

An electron-diffraction investigation of the molecular structures of ketene, carbonyl fluoride, and tetrafluoroethylene

10 4

c.a., 1253, 36356

$\text{CH}_2=\text{C}=\text{O}$ (r_{xy} ; $\angle \text{HCO}$)

1953
4150 - $\overline{\text{II}}$
4106 - $\overline{\text{IV}}$

Arendale W.F., Fletcher W.H.

J. Chem. Phys., 1953, 21, N10, 1898 (annc.)

The geometry of ketene.

2

PRKX, 1954, N13, 32034

10

C_2H_2O (z)

\bar{v} - 41.58.

1953

Igarashi M.

Bull. Chem. Soc. Japan, 1953, 26, 330-1

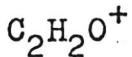
Reinvestigation of the structure of ethylene
oxide by electron diffraction

2

10

C.A., 1954, 37376

514-IV



1953

Long F.A., Friedman L.

J. Amer. Chem. Soc. 1953, 75, II 12,
2837-2840 (~~annu.~~)

Mass spectra and appearance poten-
tials of ketene monomer and dimer;
relation to structure of dimer

PX., 1955, 51235

10. μ

CH₂CO

Bsp-4152-IV

-1954

Bak B
Andersen F.

Ji
A, B, C -
 $-\left(F-E_0^{\circ}\right)/T$

J. Chem. Phys. 22, N^o 6,
1954, 1050-53
Infrared Spectrum of Ketene.



III kapt.

C_2H_2O (v_i)

P 4462 1954?

Stone S.A.

J. Chem. Phys., 1954, 22, 925-7

A theoretical evaluation of the normal frequencies of vibration of the ethylene oxide molecule

2

10

C. A. 1954, 12482a

1955

CH₂ CO

Жадомицкий А.Е.

Успехи химии 1955, 24, 730

Радиоспектроскопия и
строение молекул (обзор
около 1300000) начатое
давное для ученых связи
и некоторое расстояние



CH₂ CO.

CH_2CO ($\text{D}_{1\text{c-e}}$, B_1 , C_{CH_2} , A-B ;
 $\text{D}_{1\text{c}\text{H}_2}$, A-B)

1956

CD_2CO ($\text{D}_{1\text{c}}$) ~~$\text{D}_{1\text{c}}$~~ F.

4371-IV

Arendale W. F., Fletcher W.H.

J. Chem. Phys., 1956, 24, v3, 581-587 (cont.)

Some vibration-rotation bands of
ketene.

3

Pre-Kew, 1958, 59206

W

Kesey BP - 4151-IV 1957
Arendale W. F., Fletcher W. K.

J. Chem. Phys., 1957, 26, 793.

CH_2CO

Neopentylaceton. Skeletal Keayes et

CH_3DCO

aus getrenntem Butanol.

U.K. Chem. P.

$V_1 \left\{ \begin{array}{l} 3081 R \\ 3069 Q \end{array} \right.$

$V_2 \left\{ \begin{array}{l} 3057 R \\ 2162 R \\ 2151 Q \\ 2138 P \end{array} \right.$

$V_3 \rightarrow 1399 R^-$

1388 Q
1376 P

$V_4 \rightarrow 1134 R$

$V_5 \rightarrow 1120 Q$

$V_6 = 978$

$V_7 = 588$

$V_8 = 488$

$V_9 = 528$

$1110 R$

Числовые изображение

$$K_{CH} = 5,325 \cdot 10^5 \text{ динсм}^{-1}$$

C-H stretch.

$$K_{CC} = 7,60$$

C-C .. - ..

$$K_{CO} = 19,50$$

C-O .. - ..

$$H_g^1 = 0,318$$

HCH angle
interaction

$$K_{CO}^{CC} = 2,92$$

$$K_{gCC}^{CC} = -0,152$$

" - "

$$K_{CH} = 5,2746 \text{ C-H stretch}$$

$$H_p^1 = 0,421 \text{ in-plane CH}_2 \text{ rocking}$$

$$H_2 = 0,448 \text{ in-plane C-CO bend}$$

$$H_{p\theta}^1 = 0,061 \text{ interaction}$$

$$H_g^1 = 0,396 \text{ out of plane CGO}_6$$

$$H_{g\theta}^1 = 0,021 \text{ out of plane CH}_2 \text{ wag}$$

CH2CO BP IV-4156 1958
($\gamma_i, B_0, A_0, \gamma_{C-H}, \gamma_{C=C}, \gamma_{C=O}, \gamma_{NCH}$)

Butler P.G., Eaton D.R., Thompson H.W.

Spectrochim. acta, 1958, 13, 223-235 (англ.).

Колебательно-вращательные колосы
кетена.

РЖХ, 1959, № 18, 63458 ✓ 2
10 (P)

IV-227
CH₂CO (длинн. связь, Do) 1958

Glockler G.,

J. Phys. Chem., 1958, 62, N 9, 1049-
1054 / англ./

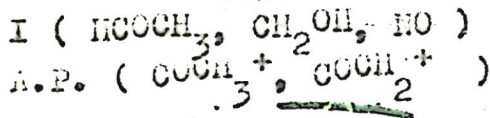
Энергии и длины связей углерода с
кислородом

РХ., 1959, N 8, 26104

М.Ю

8030 - IV

1958



Hurzeler H., Inghram M.G.,
 Morrison J.D.

J.Chem.Phys., 1953, 28, II 1, 76-82
 (Ann.)

Photon impact studies of molecules
 using a mass spectrometer

P.K., 1958, 52640

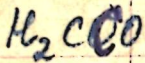


10

EOTL 10. K. 10

1959

BP - 4157 - IV



(*ескегтире.*
написано)

Determination of internuclear distances in ketene from spectroscopic measurements. A. P. Cox, L. F. Thomas, and J. Sheridan (Univ., Birmingham, Engl.). *Spectrochim. Acta* 1959(Aug.), 542-3(in English). On the basis of rotation spectra, the following consts. were detd. for $H_2^{13}CCO$ and $H_2CC^{18}O$, resp.: ($B_0 + C_0$), 19,568.07 and 19,182.46 Mc. and ($B_0 - C_0$), 335.73 and 340.24 Ic. The length of the bond between the methylene C atom and the O atom is 2.475 Å. From the values calcd. for B_0 and C_0 together with earlier values for these consts., detd. with the compds. H_2CCO and $HDCCO$, the following structural consts. were calcd.: d_{CH} (= d_{CD}) 1.083 Å.; $\angle HCH$ (= $\angle DCD$) $122^\circ 35'$; d_{CC} 1.314 Å.; and d_{CO} 1.161 Å. From CZ 1960(35), 11602.

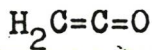
M. G. Moore

C.A.1964.60.3

2448a

4163-15

4163



(D_J, D_{JK}, D_K)

1959

Sundaram S.

Spectrosc. Molec., 1959, 8, N 89,
51

Вращательное возмущение в некото-
рых многоатомных молекулах

РХ., 1960, № 18, 72278

10

10

$H_2C=C=O$

$D_2C=C=O$

См. № 2.
также

Т. Г.

ВФ-464-IV /

1960

6Б379. Постоянные потенциальной энергии, постоянные возмущения вращения и термодинамические свойства $H_2C=C=O$ и $D_2C=C=O$. Sundaram S., Cleveland Forrest F. Potential energy constants, rotational distortion constants, and thermodynamic properties of $H_2C=C=O$ and $D_2C=C=O$. «J. Chem. Phys.», 1960, 32, № 5, 1554—1556» (англ.).—На основании колебательных спектров методом подбора вычислены 24 силовые постоянные потенциальной энергии кетена, представленной общей квадратичной функцией. Авторы задавались значениями силовых постоянных, соответствующих растяжениям связей (испытывался ряд вариантов), и вычисляли остальные, добиваясь лучшего совпадения. Значения подобранных силовых постоянных растяжения связей $C=O$ и $C=C$ значительно отличаются от данных Арендайла и Флетчера (РЖХим., 1957, № 24, 76429). По силовым постоянным были рассчитаны частоты кетена (I) и дейтерокетена (II) и

см.
н/об

20.1961.6

сравнены с наблюдаемыми. Результаты работы были использованы также для вычисления постоянных возмущения I и II по методу Кивельсона и Вильсона (Kivelson D., Wilson E. B. «J. Chem. Phys.», 1952, 20, 1575; 1953, 21, 1229; РЖХим, 1955, № 17, 36678). Табулированы D_j , D_{jk} , D_k , R_5 , R_6 и δ_j . Частоты колебаний (в случае II рассчитанные) были применены для вычисления термодинамич. функций I и II (гармонич. колебания, жесткое вращение). Табулированы $(H^0 - E_0^0)/T$, $-(F - H_0^0)/T$, S^0 и c_p^0 для идеального газового состояния в интервале 100—1000° K (ср. Drayton L. G., Thompson H. W. «J. Chem. Soc.», 1948, 1416).

И. Годлев

тзкоч

1962

CH₂CO

8 Б485. Образование кетена при реакции атомов кислорода с ацетиленом. Haller Ivan, Pimentel George C. Reaction of oxygen atoms with acetylene to form ketene. «J. Amer. Chem. Soc.», 1962, 84, № 15, 2855—2857 (англ.)

Атомы кислорода получались облучением N₂O ксеноновой резонансной лампой ($\lambda \sim 1470$ Å) при 20° К в матрице азота. Образовывались атомы O в состоянии ³P. Фотолиз проводился в присутствии либо C₂H₂, либо смеси C₂D₂ + C₂H₂. Методом ИК-спектроскопии обнаружен кетен, образующийся по р-ции O*(³P) + C₂H₂ → → CH₂CO (1). Так как атомы O*(³P) имеют энергию возбуждения 8,1 ккал/моль, то энергия активации р-ции (1) должна быть равна или меньше этой величины. Авторы предполагают, что р-ция (1) происходит в две стадии и должна приводить к образованию молекулы кетена в возбужденном триплетном состоянии.

С. Поляк

X · 1963 · 8

1962

Bep - 8910-IV

 H_2CCO NH_2CN $\text{CH}_3\text{N}_2\text{H}_2$

J.R. et al.

Microwave spectroscopic studies of near-linear molecules of the type H_2XYZ . J. Sheridan (Univ. Birmingham, Engl.). *Proc. Intern. Meeting Mol. Spectry., 4th, Bologna 1959*, 139-47 (Pub. 1962). Work on microwave spectra of diazomethane, ketene, and cyanamid is reviewed. Rotational consts. for numerous isotopic forms of these mols. were measured. The elec. dipole moment of diazomethane was measured; the nuclear quadrupole splittings in diazomethane are described and include a definite coupling of the central N nucleus.

Graham S. Pearson

C.A. 1963 .59 .8
8249ef

CH_2CO

B97-8910-IV

1962

Sheridan F.

Advances Molec. Spectrosc. V. I.,
1962, 139.

M. B. Смирнов.

Исследование нортил эти-
леновых мономеров на
 H_2XYZ методе испро-
блемной спектроскопии.

(авт. CH_2N_2)

БГР-9181-IV

1962

H₂C=C=O | 3 Б107. Числовое поле Юри—Бредли для кетона и
D₂C=C=O | дейтерокетона. Venkateswarlu K., Rajalakshmi K. V., miss. Urey—Bradley force field-ketene and
расчет | ketene-*d*₂. «Proc. Indian Acad. Sci.», 1962, A56, № 5,
силовых | 258—261 (англ.)

Молекула кетона $H_2C=C=O$ ($D_2C=C=O$) принадлежит к точечной группе C_{2v} и имеет 9 активных колебаний типов $4A_1 + 3B_1 + 2B_2$. Ее потенциальная функция выбрана в форме Юри—Бредли. Длина связи C—H принята равной 1,075, связи C=C 1,315 и связи C=O 1,160 Å. Угол HCH=122°. В функцию Юри—Бредли введено 8 констант (растяжения связей и изменения валентных углов и взаимодействия несвязанных атомов H—H и H—C). Для плоских колебаний силовые постоянные связей C=O, C=C и C—H равны соответственно 14.507, 10.05 и $4.526 \cdot 10^5$ дн/см.

Л. Грибов

X·1964·3

1962

Bр -9181-IV

H₂C₂O

8 Д51. Силовое поле Юри — Брэдли в кетене и кетене- d_2 . Venkateswarlu K., Rajalakshmi K. V., miss.. Urey-Bradley force field-ketene and ketene- d_2 . «Proc. Indian Acad. Sci.», 1962, A56, № 5, 258—261 (англ.)

Определены силовые постоянные Юри — Брэдли для кетена и кетена- d_2 . Для этих молекул приведены выражения, связывающие члены F -матрицы Вильсона с силовыми постоянными Юри — Брэдли. Значения частот, рассчитанные на основе найденных силовых постоянных, совпадают с экспериментом и с расчетами других авторов.

ф. 1963. 80

БФ - 7540-IV

1963

$\text{K}_2\text{C}_2\text{O}$.
5 Б122. Основные колебательные частоты в кетене и дейтерокетенах. Cox A. Peter, Esbitt Alan S. Fundamental vibrational frequencies in ketene and the deuteroketenes. «J. Chem. Phys.», 1963, 38, № 7, 1636—1643 (англ.)

Основная трудность в интерпретации ИК-спектров кетена (I) заключается в отсутствии точного отнесения перпендикулярных полос (B_1 и B_2) в области 400—1000 cm^{-1} . С целью точного отнесения этих полос измерены относительные интенсивности вращательных переходов в основном и первом колебательном состоянии I, монодейтерокетена (II) и дидейтерокетена (III). Микроволновые спектры I—III получены при комнатной т-ре и при т-ре сухого льда. По отношению интенсивностей линий переходов $0_{00} \rightarrow 1_{00}$, в предположении, что полуширина микроволновых линий при колебательном переходе не меняется, рассчитаны значения v_7 , v_9 , v_6 (в cm^{-1}), соответственно равные для I 443, 527 и 617, для II 397, 506 и 558, для III 386, 437 и 528. Правильность этого

Сем. куфод.

Х: 1964.5

расчета подтверждена последующим изучением ИК-спектров поглощения кристаллич. образцов I—III при -192° в области 300 — 400 см^{-1} . Приведен анализ ИК-спектров I—III и определены значения всех 9 основных частот этих молекул. При использовании приближения гармонич. осциллятора рассчитаны в интервале 100 — 1000°K значения следующих термодинамич. функций I: энталпия, свободная энергия, энтропия и теплоемкость.

А. Александров

1963

ВФ-7540-IV

CH₂ CD

спектр.

✓ 1 Д216. Основные колебательные частоты в кетене и дейтерокетенах. Cox A. Peter, Esbitt Alan S. Fundamental vibrational frequencies in ketene and the deuteroketenes. «J. Chem. Phys.», 1963, 38, № 7, 1636—1643 (англ.)

Измерены частоты и относит. интенсивности вращательных переходов в кетоне и его дейтеропроизводных: CH₂CO, CD₂CO и CHDCO, в основном и первом возбужденном колебательных состояниях. Наиболее основные частоты при комнатной т-ре для CH₂CO 443, 527 и 617 см⁻¹, для CD₂CO 386, 437 и 528 см⁻¹ и для

Ф. 1964. 18 216

CHDCO 397, 506 и 558 см^{-1} . Наиболее низкая частота оказалась примерно на 100 см^{-1} меньше величины, известной из литературных данных по измерениям ИК-спектра. Ввиду этого с целью проверки микроволновых данных исследован также ИК-спектр твердой фазы при -192°C в области 300 — 4000 см^{-1} . Данные по девяти частотам приведены в таблицах. Низкочастотный ИК-спектр находится в хорошем согласии с микроволновыми данными: для CH_2CO 433 , 513 и 613 см^{-1} , для CD_2CO 366 , 459 и 522 см^{-1} и для CHDCO 394 , 510 и 558 см^{-1} . Полученные экспериментальные данные использованы для пересчета термодинамических характеристик. Приведены результаты расчета теплоемкости, свободной энергии, энталпии и энтропии для CH_2CO в интервале T - t 100 — 1000°K .

Е. Пшеничнов

1963

12 Б130. Инфракрасный спектр и колебательная потенциальная функция кетена и его дейтерозамещенных. Mooge C. Bradley, Pimentel George C. Infrared spectrum and vibrational potential function of ketene and the deuterated ketenes. «J. Chem. Phys.», 1963, 38, № 12, 2816—2829 (англ.)

Исследованы ИК-спектры поглощения CH_2CO (I), CD_2CO (II) и CHDCO (III) в газообразном и твердом состояниях, а также в матрице Ar при 20°К и соотношениях Ar:I (II, III) от 350 до 450. На основании полученных результатов выполнено отнесение всех основных частот I—III и, в частности, для плоских и не-плоских водородных колебаний найдены величины (в см^{-1}) v_7 438, 371 и 398, v_8 591, 542 и 555, v_9 525, 432 и 493 (для I, II и III соответственно в матрице), что отличается от величин, предложенных другими авторами. Это отнесение подтверждено проверкой по правилам сумм и произведений. Проведен также анализ нормальных координат молекулы, вычислены силовые постоянные и по этим данным найдены постоянные центробежного растяжения и кориолисовой связи.

CH₂CO-

искр.

1249

117

CH

CH

38

CH

38

CH

38

1963-09-08-14

1964-12

В результате анализа вращательной структуры ряда полос уточнены значения структурных параметров молекулы кетена и найдены $\angle \text{HCH} = 122,3 \pm 0,2^\circ$ и $r(\text{C}-\text{H}) = 1,079 \pm 0,002 \text{ \AA}$. Полученные данные по основным частотам и структурным параметрам использованы для расчета термодинамич. функций (C_P^0 , S^0 , $-(F^0 - H_0^0)/T$, $(H^0 - H_0^0)/T$) в идеальном состоянии при давл. 1 атм в интервале т-р 273,15—1500° К. Расчет проводился в приближении жесткий ротор — гармонич. осциллятор.

Б. Юнгмаэ

Реп.
III.

Бр-8923. -IV

1963

CH₂CO

e 7

брчн

спектр

11

8456

Бр-8456

ф. 1964. 18

Д187. ИК-спектр и колебательная потенциальная функция кетона и дейтерированных кетонов. Moore C. Bradley, Pimentel George C. Infrared spectrum and vibrational potential function of ketene and the deuterated ketenes. «J. Chem. Phys.», 1963, 38, № 12, 2816—2829 (англ.)

В ИК-спектрах твердого кетона и кетона в аргоне измерены основные НЧ-полосы поглощения (CH_2CO 438 см^{-1} ; CD_2CO 371 см^{-1} ; CHDCO 398 см^{-1}). Совместно со спектрами кетонов в газообразном состоянии эти спектры послужили основой для новой идентификации колебательного спектра. Вычислены кориолисовы постоянные, колебательная потенц. ф-ция, постоянные центробежного растяжения и термодинамич. характеристики кетона. Значение силовой постоянной неплоских деф. кол. водорода оказалось весьма малым (п-рядка 1/3) по сравнению с этиленом. Анализ вращательной структуры позволил с большей точностью вычислить момент инерции, угол НСН ($122,3^\circ$) и длину С—Н-связи (1,079 Å) кетона. Библ. 37 назв.

1963

H₂CCOfund.
1st-v. g. - g.

Fundamental vibrational frequencies in ketene and the deuteroketenes. A. Peter Cox and Alan S. Esbitt (Harvard Univ.). *J. Chem. Phys.* 38, 1636-43(1963). Accurate microwave relative intensity measurements were made on rotational transitions of ketene and its deuteroderivs. in the ground and 1st-vibrational states. The results allow the 3 lowest fundamental frequencies of these mols. to be pos. detd. For CH₂CO these modes are 443, 527, and 617 cm.⁻¹ The lowest frequency is nearly 100 cm.⁻¹ lower than any fundamental previously cited from infrared data for ketene. To substantiate the microwave results solid-state infrared spectra of the mols. at -192° were investigated, 300-4000 cm.⁻¹ The low-frequency spectra are in good agreement with the microwave data, and a complete analysis allows the 9 fundamentals of CH₂CO, CHDCO, and CD₂CO to be evaluated. The 3 lowest fundamentals of CH₂CO in the solid are found at 433, 513, and 613 cm.⁻¹ The thermodynamic properties of ketene were recalcd. CA

2 v/s

C.A. 1963.58.11

10854 ole

CH_2CO

1963

▼ 4 Б155. Инфракрасные спектры и колебательные потенциальные функции кетена и диазометана. Римпель Георг С., Мурре С. В. The infrared spectra and vibrational potential functions of ketene and diazomethane. Abstract. «Sympos. Molec. Struct. and Spectrosc., Columbus, 1963». Columbus, Ohio, s. a., 57 (англ.)

С использованием матриц (N_2 или Ar при 20° K) или чистых твердых в-в получены ИК-спектры кетена (I) и диазометана (II) в области низких частот. Сделано отнесение частот для I и II и их моно- и дидейтерозамещенных производных. Анализ перпендикулярных полос в газовой фазе позволил получить точные значения для наименьших моментов инерции. На основе эксперим. частот получено силовое поле указанных молекул и некоторые особенности потенциальных функций обсуждены в связи с характером связи в I и II. Напр., силовая постоянная для неплоских деф. кол. группы CH_2 имеет значительно меньшую величину, чем в молекулах этилена или формальдегида.

Резюме авторов

Б69

Х · 1965 · 4



8910-IV

1963

CH_2CO (мол. юн.)

Sheridan J.

Microwave spectroscopic studies
of near-linear molecules of the type
 H_2XYZ .

2 "Advances Molec. Spectrosc. Vol. 1."
Oxford - London - New York -
Paris, Pergamon Press, 1962, 139-147
(анг.)

РФ., 1963, 4 D155

10

$\text{C}_2\text{H}_2\text{O}$

Есть оригинал.

1965

 C_2H_2O

Число
излучения
энергии

11 - 84/54

• № 2 Б90. Потенциальные функции для неплоских деформационных колебаний CH_2 в диазометане, кетене и родственных молекулах. Мооге С. Bradley, Ритментал Георge C. Out-of-plane CH_2 bending potential functions of diazomethane, ketene, and related molecules. «J. Chem. Phys.», 1964, 40, № 6, 1529—1534 (англ.)

Приводится таблица численных значений силовой постоянной неплоских деф. кол. CH_2 в олефинах. Эти значения аномально низки, так что частота первого обертона этого колебания в молекуле диазометана превосходит удвоенное значение основной частоты более чем на 5%. В связи с этим уровни энергии вычисляются с потенциальной функцией, содержащей четвертую степень колебательной координаты. Такие вычисления выполнены для молекулы диазометана и молекул $CHDN_2$, CD_2N_2 , $CH_2N^{15}N$. Отмечается большое отклонение от гармонич. правила произведений. Вычислены значения силовой постоянной и постоянной ангармоничности и построена потенциальная функция с двумя минимумами, особенности которой объясняются в связи с электронной структурой кетена и диазометана.

М. Ковнер

x. 1965 · 2

C₂H₂O

1966

2 Д196. Спектр поглощения кетена в видимой и близкой УФ-области. Dixon R. N., Kirby G. H. Absorption spectrum of ketene in the visible and near ultra-violet. «Trans. Faraday Soc.», 1966. 62, № 6, 1406—1410 (англ.)

Бор-М 940-116

Получен спектр поглощения кетена в видимой и ближней УФ-области с длиной пути до 24 м. Обнаружен диффузионный характер многих полос, который исчезает после 4735 Å. Среднее расстояние между соседними полосами изменялось от $365 \pm 50 \text{ см}^{-1}$ для ВЧ-области до $475 \pm 20 \text{ см}^{-1}$ для области ниже $26\,000 \text{ см}^{-1}$, что связано с существованием двух электронных переходов. Это подтверждено расчетом, который позволил отнести наблюдавшиеся переходы к типам ${}^1A_1 \rightarrow {}^1A_2$ и ${}^1A_1 \rightarrow {}^3A_2$. Диффузность полос объясняется предиссоциацией. На этом основании энергия диссоциации кетена оценена в 61 ккал/моль.

Г. Коган

Бор-М 1410-1V

оф. 1967. 20

$\text{CH}_2 = \text{CO}$
(80)

2 Б107. Спектр поглощения кетена в видимой и ближней ультрафиолетовой областях. Dixon R. N., Kirby G. H. Absorption spectrum of ketene in the visible and near ultra-violet. «Trans. Faraday Soc.», 1966, 62, № 6, 1406—1410 (англ.)

1966
11-1410-171
Родионов

Получен спектр поглощения кетена в видимой и ближней УФ-областях. Толщина поглощающего слоя достигала $24 \text{ м} \cdot \text{атм}$. Обнаружен диффузионный характер многих полос, к-рый исчезает после 4735 Å. Ср. расстояние между соседними полосами изменялось от $365 \pm 50 \text{ см}^{-1}$ для высокочастотной области до $475 \pm 20 \text{ см}^{-1}$ для области ниже $26\,000 \text{ см}^{-1}$, что связано с существованием 2 электронных переходов. Это подтверждено расчетом по методу самосогласованного поля МО ЛКАО в приближении Паризера, Парра и Попла, к-рый позволил сделать отнесение наблюдавшихся переходов к типу $^1A_1 \rightarrow ^1A_2$ и $A_1 \rightarrow ^3A_2$. Диффузия полос объясняется преддиссоциацией, на основании к-рой удается оценить верхний предел низшей энергии диссоциации кетена 61 ккал/моль.

Бер - 1498-IV

Х. 1967. 2

СН₂ = CO

(ВФ - М167-IV) | 1966

CH₂ N₂

(3. 4.)

Термодинамические
свойства

ЗД136. Молекулярные постоянные плоских молекул типа X_2YZW . Venkateswarlu K., Rajalakshmi K. V., Malathy Devi V., Miss. Molecular constants of planar X_2YZW molecules. «Bull. Soc. roy. sci. Liège», 1966, 35, № 5—6, 350—363 (англ.)

С использованием силового поля Юри — Брэдли вычислены силовые постоянные диазометана и его дейтеропроизводного. Приведены величины обобщенных среднеквадратичных амплитуд колебаний и оценен эффект сокращения при 300° К для кетена, диазометана и их дейтеропроизводных. В приближении жесткий ротатор — гармонич. осциллятор рассчитаны термодинамич. ф-ции диазометана- d_2 при 11 различных т-рах в интервале 100—1000° К.

А. Шникарев

φ. 1967. 38



Б9- М-1671- IV

1966

$\text{CH}_2 = \text{CO}$

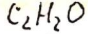
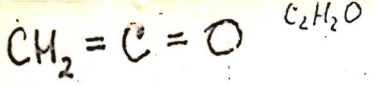
11 Б63. Молекулярные постоянные плоских молекул типа X_2YZW . Venkateswarlu K., Rajalakshmi K. V., Malathy Devi V., Miss. Molecular constants of planar X_2YZW molecules. «Bull. Soc. roy. sci. Liège», 1966, 35, № 5—6, 350—363 (англ.)

С использованием силового поля Юри-Бредли вычислены силовые постоянные диазометана и его дейтерированного аналога. Приведены величины средне-квадратичных амплитуд колебаний и эффектов «сокращения» при 300°K для кетена, диазометана и их дейтеропроизводных. В приближении «жесткий ротор — гармонический осциллятор» рассчитаны термодинамич. функции диазометана- d_2 при 11 различных т-рах в интервале $100—1000^\circ\text{K}$.

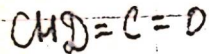
А. Шинкарев

21.1967. II

(8)



1966



24178c Hydrogen spin-spin, spin-rotation, and deuterium nuclear quadrupole interactions in ketene, ketene-d₁, and ketene-d₂. V. W. Weiss and W. H. Flygare (Univ. of Illinois, Urbana). *J. Chem. Phys.* 45(9), 3475-6(1966)(Eng). High-resolution microwave spectra were obtained and analyzed. Values of $M_{\omega^H} = 1$ and $M_{ee^H} = 4$ kc./sec. and $\chi = 240 \pm 20$ kc./sec. were found.

John W. Ward

in b chemip

C.A. 1967-66-6

1967

 $H_2C=C=O$

6 Д486. Эффект Зеемана кетена в микроволновой области. Takagi Kojiro. Microwave Zeeman effect of ketene. «J. Phys. Soc. Japan», 1967, 23, № 5, 1107—1109 (англ.)

Исследован эффект Зеемана вращательных переходов $2_{11} \leftarrow 1_{10}$, $2_{12} \leftarrow 1_{11}$ и $1_{01} \leftarrow 0_{00}$ молекулы $H_2C=C=O$. Получены следующие значения компонент g -тензора вращательного момента: $|g_{aa}| = 0,428$, $|g_{yy}| = 0,0400$, $|g_{cc}| = -0,0158$. Все компоненты g имеют одинаковые знаки, причем по аналогии с молекулами CO, OCS, OCSe и H_2CO им приписывается отрицат. знак. Подчеркивается, что величины g -компонент H_2CCO почти на порядок меньше соответствующих величин для формальдегида.

Библ. 9. Э. В. Б.

09.1968. 68

H_2CCO

Takeshi Oka
J. Chem. Phys.,
47, N1, 13-26

1967
346

Микроволновое исследование
излучений при
спектральных переходах
между вращательными
уровнями. II. Найденные в
 H_2CO , HCN и H_2CCO .
($\text{Cet. } H_2CO$) III

1968

 CH_2CO алк. исст.

8 Б56. Силовые постоянные и кориолисовы константы взаимодействия в некоторых плоских молекулах типа X_2YZW . Venkateswarlu K., Rupushothaman C., Rajalakshmi K. V., Malathy Devi V., Miss. Potential constants and coriolis coupling constants in some planar X_2YZW type molecules. «Bull. Soc. roy. sci. Liège», 1968, 37, № 3—4, 249—255 (англ.).

С использованием потенциальной функции Юри-Бредли вычислены параметры силового поля молекул CH_2CO (I) и CD_2CO (II). Произведен теоретич. расчет

кориолисовых констант взаимодействия в I, II, CH_2N_2 ,
и CD_2N_2 .

В. А. Сипачев

X. 1969. 8

+1

☒

CH₂ CO

Bodor N., et al.

1940

J. Amer. Chem. Soc.,

2;

cur. noenc;

3

92, 13, 3854.

Ассоциатическое
взаимодействие с О-анионами.

X. Распределение радиоактивного углерода
между побочных ие
веществами

пресекрене сие дифференци
ческое и разрывавшее
но сосоединение, соединя-
щее язык и ее' слизород.



22 Б1250. Импульсный фотолиз кетена и диазометана. Образование и кинетика реакций триплетного и синглетного метилена. Braun W., Bass Arnold M., Pilling M. Flash photolysis of ketene and diazomethane: the production and reaction kinetics of triplet and singlet methylene. «J. Chem. Phys.», 1970, 52, № 10, 5131—5143 (англ.).

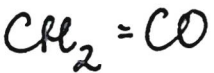
1980

Исследована фотодиссоциация кетена и диазометана в области вакуумного УФ-света и кинетика вторичных р-ций продуктов распада — синглетного (I) и триплетного (II) метилена. Кинетика роста конц-ии II (основное состояние CH_2) определялась методом кинетич. спектроскопии. Увеличение конц-ии II после импульса отнесено вторичным р-циям I с CH_4 и H_2 , а также процессам электронной дезактивации I при столкновениях с атомами инертных газов. Получены абс. величины констант ряда элементарных процессов при $T = 298^\circ\text{K}$. Понятому, все р-ции I протекают после завершения колебательной релаксации.

Е. Дашевская

X · 1980. 22



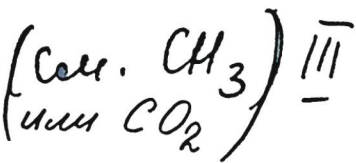


Burdett J.

1970

J. Chem. Phys., 52(6),
2983.

corr. n.



CH_2CO

XIV-906

1970

5 Д139. Средние амплитуды колебаний кетена, м-тилкетена и диметилкетена. Cuvvin S. J., Alfhheim I. Mean amplitudes of vibration of ketene, methyl-ketene and dimethyl ketene. «Indian J. Pure and Appl. Phys.», 1970, 8, № 10, 629—633 (англ.)

Выполнен анализ норм. координат молекулярной модели XY_2ZW с симметрией C_{2v} . Из эксперим. частот и структурных параметров вычислены силовые постоянные и средние амплитуды колебаний молекул CH_2CO ; CH_3CHCO и $(\text{CH}_3)_2\text{CCO}$. Отмечена высокая характеристичность средних амплитуд колебаний атомных пар $\text{C}=\text{O}$ (0,035 Å), $\text{C}=\text{C}$ (0,041 Å) и $\text{C} \dots \text{O}$ (0,044 Å) кетеновой группы в ряду рассматриваемых молекул.

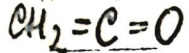
М. Р. Алиев

Ф. 1971.50



+2





среднеквадратичные
колебания

X - 1971.

Средне-квадратичные 1870
10 Б59. Среднеквадратичные амплитуды колебаний кетена, метилкетена и диметилкетена. Cyvin S. J., Alfheim I. Mean amplitudes of vibration of ketene, methyl ketene and dimethyl ketene. «Indian J. Pure and Appl. Phys.», 1970. 8, № 10, 629—633 (англ.)

Вычислены среднеквадратичные амплитуды колебаний обычной и дейтерированной молекул кетена (I), метилкетена и диметилкетена (II) при 0° и $298,16^\circ\text{K}$. Приведены значения силовых коэф. молекул I и II в координатах симметрии. Отмечена характеристичность значений среднеквадратичных амплитуд колебаний кетеновой группы $>\text{C}=\text{C}=\text{O}$ при 0° и 298°K : $u(\text{C}=\text{O}) = 0,035$, $u(\text{C}=\text{C}) = 0,041—0,042$ и $u(\text{C}\cdots\text{O}) = 0,044—0,045 \text{ \AA}$. Предложен метод вычисления среднеквадратичных амплитуд колебаний больших молекул, основанный на использовании декартовых координат смещений, удобный для вычислений на ЭВМ. А. П. Александров

10



+1



$\text{O}_2\text{H}_2\text{O}$

$\text{HC}=\text{CH}$

✓

0

ИК-спектр
в вакууме

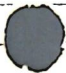
8 Д470. Изучение молекулярных самоассоциаций в аргоновой матрице при помощи ИК-спектров. Случай этиленоксида и этиленсульфида. Le Grumant Jacques. Etude par absorption infrarouge de l'autoassociation moléculaire dans une matrice d'argon solide (10° K): application à l'oxyde et au sulfure d'éthylène. «C. r. Acad. sci.», 1970, 270, № 12, B801—B803 (франц.)

Получены ИК-спектры этиленоксида и этиленсульфида в области 400 — 4000 см^{-1} в матрице из аргона при $T = 10^{\circ}\text{ K}$. Образцы приготовлены конденсацией газовой смеси на охлажденное окно КВг или AgCl . Полосы этиленоксида имеют дублетную структуру, относит. интенсивность компонент меняется с изменением конц-ии газовой смеси. Эффект объясняют образованием комплексов в матрице за счет взаимодействия водорода с электронами цикла. В спектрах этиленсульфида изменения интенсивностей при вариации конц-ии не замечено. Авторы считают, что в этом случае агрегаты образуются в газовой фазе. Библ. 5.

М. В. Тонков

Ф. 1970 · 8

8



(+1)



H₂CCO

1971

Kirby G.H.,
Miller K.

200 u.

CP-PA

J. Mol. Struct.,

1971, 8, N.Y., 343.

(Cu. H₂CO) III

$\text{CH}_2 = \text{CO}$

1971

12 Б184. Низшие возбужденные состояния кетена
Laufel Allan H., Keller Richard A. Lowest excited states of ketene. «J. Amer. Chem. Soc.», 1971, 93, № 1, 61—63 (англ.)

Измерен спектр поглощения кетена (I) в газовой фазе в области 3800—4500 Å ($p=150$ мм) и в области 3300—7500 Å в присутствии O_2 ($p(\text{O}_2)=100$ atm и $p(\text{I})=150$ мм). В последнем случае использовалась специальная оптич. кювета высокого давления. В спектре поглощения газ. I наблюдались диффузные полосы, наложенные на широкий континуум без разрешенной структуры. Измерены максимумы полос и разность между положениями соседних полос I, величины к-рых затабулированы и представлены графически. Принято, что наблюдавшаяся колебательная прогрессия ($\Delta\nu_{\text{средн.}}=459 \text{ см}^{-1}$, соотв-щее, вероятно, деф. скелетному колебанию I в верхнем возбужденном электронном состоянии) относит-

1.

8.

и.и.

X. 1971.

12

ся к единственному синглет-синглетному переходу, при-
чем энергия низшего синглетного состояния I имеет ве-
личину <61 ккал/моль по сравнению с основным элек-
тронным состоянием. Оценена эффективная постоянная
ангармоничности I — $1,54 \text{ см}^{-1}$. Введение O_2 до давл.
 $p=100 \text{ atm}$ проявлялось только в сглаживании диффуз-
ной полосатой структуры I, что находится в согласии с
предположением о том, что наблюдавшийся спектр I
обусловлен спин-разрешенными переходами. В исследо-
ванном при -78°K спектре поглощения жидк. I полоса-
тая структура не обнаружена. Использование техники
флеш-фотолиза и кинетич. спектроскопии [$p(\text{I})=550 \text{ ми}$]
в области 3700—6200 Å не привело к прямому обнару-
жению триплет-триплетного поглощения I как и при
использовании остальных спектроскопич. методов. По
аналогии с родственными молекулами оценено нижнее
значение триплетного многообразия $I \leq 54$ ккал/моль.
Обсуждены причины не наблюдения триплетных перехо-
дов в исследованных спектрах поглощения I.

А. П. Александров

$\text{CH}_2=\text{C=O}$

$\text{C}_2\text{H}_2\text{O}$

McKean D.C.,
Deenkan Y.Z.

1971

cu. n.

Spectrochim. acta,
1971, 42, n° 9, 1879.

● (Cu. CH_4) \equiv

CH_2CO

Pearson, R. G.

1971

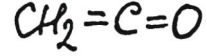
Cryogenic.

"Chem. Phys. Lett."

1971, 10, N1, 31-4.



(c.c. SO_2 ; III)



Pilling M.Y., et al. 1971

Urein.
quomaeus

Chem. Phys. Zett.,
1971, 9, n° 2, 147.



(cav. CH_2) III

H_2CCO

3 Б239. Основное состояние кетена. Johns J. W. C.,
Stone J. M. R., Winniewisser G. The ground
state of ketene. «J. Mol. Spectrosc.», 1972, 42, № 3,
523—535 (англ.)

1972

Исследованы МВ- и ИК-спектры высокого разрешения ($\sim 0,04 \text{ см}^{-1}$) молекулы кетена (H_2CCO). Проанализирована вращательная структура ИК-полос v_7 и $v_2 + v_8$. В миллиметровом диапазоне МВ-спектра (до 200 Гц) идентифицированы линии вращательных переходов основного состояния и первых возбужденных состояний колебаний v_5 , v_6 и v_9 . Из частот чисто вращательных переходов и их комбинац. разностей частот колебательно-вращательных переходов методом наименьших квадратов вычислены вращательные и центробежные постоянные для основного состояния кетена: $A = 282081$, $B + C = 20209,21$, $B - C = 378,73 \text{ Гц}$; $D_I = 3,394$, $D_{IK} = 476,04$, $D_K = 23535$, $R_5 = -164,8$, $\delta_I = 0,1453 \text{ КГц}$; $H_{KI} = -710,3$; $H_{IK} = 8,4 \text{ Гц}$. Вычислены частоты вращательных переходов, к-рые могут быть обнаружены в спектрах излучения межзвездной среды.

М. Р. Алиев

(м.н)

стик 3247

Х. 1973 № 3

1972

H₂CCO

2Д468. Основное состояние кетона. Johns J. W. C., Stone J. M. R., Winnissippi G. The ground state of ketene. «J. Mol. Spectrosc.», 1972, 42, № 3, 523—535
(англ.)

Исследованы микроволны и ИК-спектры высокого разрешения ($\sim 0,04 \text{ см}^{-1}$) молекулы кетена (H_2CCO). Проанализирована вращательная структура ИК-полос v_7 и $v_2 + v_8$. В миллиметровом диапазоне микроволны спектра (до 200 Гц) идентифицированы линии вращательных переходов основного состояния и первых возбужденных состояний колебаний v_5 , v_6 и v_9 . Из частот чисто вращательных переходов и из комбинационных разностей частот колебательно-вращательных переходов методом наименьших квадратов вычислены вращательные и центробежные постоянные для основного состояния кетена: $A = 282\ 081$, $B + C = 20\ 209,21$, $B - C = 378,73$ МГц; $D_J = 3,394$, $D_{JK} = 476,04$, $D_K = 23\ 535$, $R_5 = -164,8$, $\delta_J = 0,1453$ КГц; $H_{KJ} = -710,3$, $H_{JK} = 8,4$ Гц. Вычислены частоты вращательных переходов, которые могут быть обнаружены в спектрах излучения межзвездной среды.

М. Р. Алиев

Эмиссия 3271

Физика 73-2

1882

МСООН

22 Б70. Исследование конформаций с помощью разбиения энергии на компоненты в формализмах ППДП, ЧПДП и ПДДП; барьер вращения в муравьиной кислоте. Сообщ. IV. Применение анализа разбиения энергии на компоненты в полуэмпирических методах MO. Köhler Hans-Joachim, Birnstock Frieder. Konformationsuntersuchungen mit Hilfe der Energieaufteilungsanalyse im CNDO- und NDDO-Formalismus; Die Rotationsbarriere in der Ameisensäure. «Z. Chem.», 1972, 12, № 5, 196—198 (нем.)

Методом ССП МО ЛКАО в валентных приближениях: ППДП, ЧПДП и ПДДП рассчитаны потенциальные кривые внутреннего вращения в молекуле муравьиной к-ты. Вычисленный барьер внутреннего вращения составляет 5,32 ккал/моль для метода ППДП, 7,35 ккал/моль — для

X. 1882. 22

метода ЧПДП и 13,42 ккал/моль — для ПДДП (эксперим. значение 10,9 ккал/моль). Анализ кривых внутреннего вращения проведен в двух вариантах: 1) разбиение на «одноатомный» ΣE_A и «двуатомный» ΣE_{AB} вклады и 2) разбиение на резонансный, обменный и электростатич. вклады. Показано, что в варианте 1) ΣE_A и ΣE_{AB} меняются в противофазе, независимо от того, какое приближение используется в расчете. В варианте 2) поведение трех вкладов в различных методах имеет сходный характер, однако абрс. энергии несколько различаются, что и приводит к различным оценкам барьеров внутреннего вращения. Сообщ. III см. РЖХим, 1972, 15Б64.

В. Г. Дашевский

CH₂=CO

XIV-4425-B9

1972

4 Б144. Триплетное состояние кетена. McIntosh
John S. E., Porter Gerald B. The triplet state of
ketene. «Can. J. Chem.», 1972, 50, №14, 2313—2317
(англ.; рез. франц.)

Триплетный кетен тушит фосфоресценцию триплетных
бикацетила (I) и гексафторацетона (II). Вычислены кон-
станты скоростей соотв-щих процессов: $K^I = 6,4 \cdot 10^4$
 M^{-1} , $K^{II} = 8,5 \cdot 10^9 M^{-1} \text{сек}^{-1}$. На основании значений K^I
оценена энергия низшего триплетного состояния кетена

(*61 ± 1* ккал/моль). Обсуждается механизм фотохим.
превращений кетена.

R. Г. Микаэлян

X. 1973. N 4.

$\text{CH}_2 = \text{CO}$ CH_2N_2 Электр. стр.
геометр.

3 Д226. Электростатические молекулярные потенциалы для основных и первых возбужденных состояний кетена и диазометана. Caballo Rosa, Sagbo Ramo, Martin Miguel. Ground and first excited states electrostatic molecular potentials of ketene and diazomethane. «Chem. Phys. Lett.», 1974, 28, № 3, 422—426 (англ.)

Методом ССП МО ЛКАО в валентном приближении ЧПДП исследовано электронное строение кетена (I) и диазометана (II) в основных 1A_1 и первых возбужденных $^1A''$ - и $^3A''$ -состояниях. Для возбужденных состояний расчеты проводились ограниченным методом Хартри—Фока. Использована эксперим. геометрия, а для возбужденных состояний геометрия варьировалась. Обнаружено, что при возбуждениях обе молекулы изгибаются (валентные углы C—C—O найдены равными 137° и 133° для $^1A''$ - и $^3A''$ -состояний I соответственно, а для II углы C—N—N 158° и 152° соответственно), но остаются плоскими. Приведены и подробно обсуждены контурные карты молекулярных электростатич. потенциалов и распределения электронной плотности, а также на их основе — реакционная способность I и II.

В. Л. Лебедев

ф. 1975
№ 3

(1)

1.

CH_2CO

commercial 3805 1974.

McCrory J.H., Hall G.G.

" J. Am. Chem. Soc. "

1974, 96, (26), 7875-7878.

Pacelam Diey reee

51215.6688

Ch, Ph, TC, DB

регистр.

96615

H_2C_2O (см. под.)

1975

ХУ-10285

Gleghorn J.T., McConkey F.W. Semi-
empirical studies of molecular vibra-
tions. Part I. "J. Mol. Struct.", 1975,
29, N 1, 133-152

(англ.)

(см. CO: III)

CO₂

0524 пик

489 491

ВИНИТИ

$C_2H_2O^-$

1975

Lindinger W.
Albritton D. L.

(A.2)

"J Chem Phys" 1975, 63
n 8, 3238-3242 (ann.)

(an $C_2H_3O^-$; I)

$\text{CH}_2=\text{C}=\text{O}$

Хи-13198

1976

18 Б60. Расчет возбужденных электронных состояний кетена. Dykstra Clifford E., Schaefer Непгу F., III. Excited electronic states of ketene. «J. Amer. Chem. Soc.», 1976, 98, № 10, 2689—2695 (англ.)

Неэмпирическим методом МО ССП проведен расчет возбужденных электронных состояний $\text{CH}_2=\text{C}=\text{O}$ (I). Использованы базисы из гауссовских функций ($\Gamma\Phi$): 1) базис из двухэкспонентных функций [$\text{C}(9s5p/4s2p)$, $\text{O}(9s5p/4s2p)$, $\text{H}(4s/2s)$]; 2) такой же базис, дополненный диффузными $\Gamma\Phi$ s - и p -типа с экспонентами для атома С $a_s=0,0474$ и $0,0146$ и $a_p=0,0365$ и $0,0117$, а для атома О соотв. $0,0862$; $0,0261$; $0,0637$ и $0,0190$; 3) базис из двухэкспонентных функций, дополненный 6 поляризаций функциями d -типа (для атомов С и О) и функциями p -типа (для атомов H). Значения экспонент поляризаций функций равны: $a_d(\text{C})=0,75$ $a_d(\text{O})=0,8$ $a_p(\text{H})=1,0$. Оптимизация геометрии проводилась только в базисе (1).

(ε_i , м.н.)

Х. 1976, 18

Значения энергий основного и 18 возбужденных состояний рассчитаны для оптимизированной конфигурации с использованием всех 3 базисных наборов. Вычисленная равновесная геометрия основного состояния хорошо согласуется с экспериментом: $n(\text{CO}) = 1,168$ ($1,161 \pm 0,01$), $n(\text{CC}) = 1,311$ ($1,314 \pm 0,01$), $n(\text{CH}) = 1,070$ ($1,079 \pm 0,002$) Å, $\varphi(\text{HCH}) = 120,1^\circ$ ($122,3 \pm 0,2$). Предсказанные значения дипольного момента основного состояния равны 2,16; 2,22 и $1,81 D$ соотв. в базисах II, 2 и 3, что несколько больше эксперим. величины ($1,41$ — $1,44 D$). Из расчета энергий возбужденных состояний следует, что: 1) электронная корреляция оказывает значительное влияние на положения уровней, 2) для 5 низших состояний: 1^1A_1 , 3A_2 , 1A_2 ; 3A_1 и $^2^1A_1$ эффекты, обусловленные введением поляризационных и диффузных функций, невелики.

Э. Герман

$\text{CH}_2 = \text{C} = \text{O}$ № 4-13198

1976

11 Д395. Электронно-возбужденные состояния кетена. Dykstra Clifford E., Schaefer Непгу F., III. Excited electronic states of ketene. «J. Amer. Chem. Soc.», 1976, 98, № 10, 2689—2695 (англ.)

Приведены результаты неэмпирич. расчетов геометрии и энергий возбуждения низколежащих электронных состояний молекулы кетена $\text{CH}_2=\text{C}=\text{O}$. Выполнено сравнение результатов, полученных с тремя различными наборами базисных ф-ций. Результаты расчета геометрии молекулы в основном электронном состоянии хорошо согласуются с экспериментом. Расчетное значение дипольного момента в основном состоянии (1,81 ед. Дебая) выше экспериментального (1,41—1,44 ед. Дебая). Предсказана геометрия 8 низших возбужденных состояний кетена. Библ. 48.

4.1976 № 11

$\text{CH}_2 = \text{CO}$

XIV-7421

1976

14 Б106. Возбужденные электронные состояния кетена. Gruenholz Robert P., Flicker Wayne M., Kurremann Aron. Excited electronic states of ketene. «Chem. Phys. Lett.», 1976, 38, № 1, 57—60 (англ.)

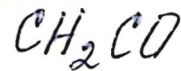
При энергиях электронов от 30 до 50 эв и углах рассеяния от 5 до 80° измерен спектр энергетич. потерь электронов на молекулах кетена. Обнаружены полосы $n \rightarrow \pi^*$ -переходов $\tilde{X}^1A_1 \rightarrow ^1A_2$, $\tilde{X}^1A_1 \rightarrow ^3A_1$ и ридбергова перехода $n \rightarrow 3s$ при 3,7, 5,3 и 5,86 эв соответственно.

M. Р. Алиев

спектр
энергетич.
потерь

электронов

Х. 1976 № 14



5 Б40. Описание в рамках метода обобщенных валентных схем низколежащих состояний кетена. Haging Lawrence B., Goddard William A., III. The generalized valence bond description of the low-lying states of ketene. «J. Amer. Chem. Soc.», 1976, 98, № 20, 6093—6099 (англ.)

1976

Неэмпирическим методом обобщенных валентных схем с учетом конфигурац. взаимодействия (КВ) изучены основное и возбужденные состояния молекулы кетена. Использован двухэкспоненциальный базис сгруппированных гауссовских функций, геометрия молекулы взята из эксперимента для основного состояния. Вычислены полные энергии основного (1A_1) и возбужденных (3A_2 , 1A_2 , 1 3A_1 , 2 3A_1) состояний. Энергии вертикальных переходов в различных вариантах расчета сопоставлены с эксперим. данными и результатами др. расчетов. Расчеты с учетом КВ удовлетворительно согласуются с наблюдаемыми методом электронного удара энергиями возбуждений. Вычисленный для основного состояния молекулы дипольный момент, 1,62 D, согласуется с эксперим. значением (1,41). Для возбужденных состояний вычисленные дипольные моменты имеют след. значения: 2,76 (3A_2), 3,43 (1A_2), 2,43 (1 3A_1) и 0,27 D (2 3A_1).

Ю. А. Борисов

*Кв. исх.
расчет,
рс*

*X. 1977
N 5-*

1976-1567

H₂CCO

1976

ЗД136. Описание низколежащих состояний кетена в рамках обобщенного метода валентных схем.
Harding Lawrence B., Goddard William A., III. The generalized valence bond description of the low-lying states of ketene. «J. Amer. Chem. Soc.», 1976, 98, № 20, 6093—6099 (англ.)

Обобщенным методом валентных схем (ОВС) и методом ОВС с учетом конфигурац. взаимодействия (ОВС+КВ) рассчитана электронная структура основного и пяти возбужденных состояний кетена H₂CCO. Анализ характера связей и свойств этих состояний выполнен на основе ф-ции ОВС. Расчеты производились в сжатом гауссовом базисе типа [4s2p/2s] с использованием экспериментально установленной геометрии основного состояния. Вычисленные значения энергий

Eij. M.N.

ф. 1977 № 3

возбуждения (эв) и дипольных моментов возбужденных состояний (приведены в ед. Дебая) равны: ${}^3A_2^3(n \rightarrow \bar{\pi}^*)$ — —3,62 (2,76), ${}^1A_2^1(n \rightarrow \pi^*)$ — 3,69 (3,43), ${}^1{}^3A_1^3(\pi \rightarrow \pi^*)$ — —5,39 (2,43) и ${}^2{}^3A_1^3(\bar{\pi} \rightarrow \bar{\pi}^*)$ — 7,37 (0,27). Эксперим. значения энергий возбуждения равны 3,8 (1A_2) и 5,35 эв (3A_1). Теоретич. значение дипольного момента основного состояния (1,62 ед. Дебая) хорошо согласуется с экспериментальным (1,41 ед. Дебая). Произведен сравнительный анализ энергий возбуждения и структуры связей в кетене, этилене и формальдегиде.

О. В. Сизова

$\text{CH}_2 = \text{CO}$ (кетен)

1976

$\chi_3 - 13910$

23 Б250. Силовое поле и r_z -структура кетена. Mal-linson P. D., Nemes L. The force field and r_z structure of ketene. «J. Mol. Spectrosc.», 1976, 59, № 3, 470—481 (англ.)

Недавно определенные константы кориолисова взаимодействия кетена (I) и $I-d_2$ и центробежного искажения для I , $I-d_1$ и $I-d_2$ позволили определить 16 из 19 силовых коэф. (СК) I . Неоднозначность выбора между двумя наборами СК в классах A_1 и B_1 уменьшена. С помощью полученных величин вращательных постоянных определена r_0 - и r_z -структура, причем последняя — впервые.

Резюме

см. № 23

\sqrt{r}

X. 1976. № 23

$\text{CH}_2 = \text{C} = \text{O}$

1976

fig - 13910

11 Д158. Силовое поле и r_z -структура кетена. Mal-
linson P. D., Nemes L. The force field and r_z struc-
ture of ketene. «J. Mol. Spectrosc.», 1976, 59, № 3,
470—481 (англ.)

Спд. не сг
Человек

Из эксперим. данных для частот колебаний, постоян-
ных центробежного искажения, дефекта инерции и
постоянных кориолисова взаимодействия молекулы ке-
тена и ее изотопич. разновидностей вычислены квадра-

ф. 1976 N 11

тич. силовые постоянные кетена (H_2CCO). По полученным значениям силовых постоянных вычислены гармонич. колебательные поправки к вращательным постоянным, а из эксперим. значений вращательных постоянных с учетом этих поправок вычислены структурные r_z -параметры кетена и ее изотопзамещенных. Для H_2CCO получено: $\text{CH}=1,0797$, $\text{C}=\text{C}=1,3171$, $\text{C}=\text{O}=1,1608\text{\AA}$, $\text{HCH}=121,97^\circ$.

М. Р. Алиев

CH₂=CD

1976

2 Б232. Инфракрасные и микроволновые исследования кетена и его дейтеропроизводных в газовой фазе.
Nemes László. A keten molekula és deuterált származékainak gazfazisú infravörös és mikrohullámú spektroszkópiai vizsgálata. «Kém. közl.», 1976(1977), 46, № 3—4, 434—440 (венг.; рез. англ.)

Измерены ИК- (4000—250 см⁻¹) и МВ-спектры кетена и его дейтерированного в газовой фазе аналога. Приведены структурные параметры кетена, полученные на базе сочетания анализов ИК- и МВ-спектров. Приведены также значения A_0 , B_0 и C_0 и констант центробежного растяжения, обсуждено кориолисово взаимодействие α -типа между формами b_1 и b_2 , соотношения между r_0 и r_z . Все выкладки проведены на основе симметрии C_{2v} .

Резюме

X, 1978 № 2

CH_2CO

XУ-11881

1976

} 15 Б63. Неэмпирические расчеты потенциальных поверхностей с учетом всех электронов. III. Диссоциация кетена на CH_2 и CO. Pendergast Phil, Fink William H. Allelectron nonempirical calculations of potential surfaces. III. Dissociation of ketene into CH_2 and CO. «J. Amer. Chem. Soc.», 1976, 98, № 3, 648—655 (англ.)

Кв. неэл.
расчет
помече.
раб.-сгб.

Проведены расчеты неэмпирич. методом ССП МО ЛКАО основного и низколежащих возбужденных состояний кетена (I) и потенциальной Пв р-ции диссоциации I на CH_2 и CO. Выбор базиса и детали расчета основного состояния аналогичны использованным в сообщ. II (см. РЖХим, 1972, 15Б61). При расчетах возбужденных состояний использованы две процедуры: ССП для открытых оболочек и метод ограниченного учета конфигурац. взаимодействия (КВ). Для основного (1A_1) и первого триплетного ($^3A''$) возбуж-

X, 1976, 15

денного состояний проведена частичная оптимизация геометрич. параметров. Минимум энергии соответствует $R_{CC}=1,31$ Å, $R_{CO}=1,23$ Å и $\angle OCC=180^\circ$ (1A_1) и $R_{CC}=1,59$ Å, $R_{CO}=1,35$ Å и $\angle OCC=138^\circ$ (${}^3A''$). Рассмотрены два пути р-ции: линейный, соотв-щий диссоциации из основного состояния и изогнутый, отвечающий диссоциации из геометрии возбужденного ${}^3A''$ состояния. При движении по пути р-ции геометрия фрагментов оставалась неизменной. Приведены корреляц. диаграммы МО для рассматриваемой р-ции, энергии ССП, энергии КВ, веса конфигураций; обсуждены нек-рые вопросы фотохимии кетена.

И. Абронин

60319.4768

Ch, Ph, TC, MGU

96201

 CH_2CO

1976

(photol.)
(спектр.)

XG-11841

Simons J. W., Curry Roberta. Threshold energies for production of $\text{CH}_2(^3\text{B}_1)$ and $\text{CH}_2(^1\text{A}_1)$ from ketene photolysis. The

$\text{CH}_2(^3\text{B}_1) \longleftrightarrow \text{CH}_2(^1\text{A}_1)$ energy splitting.

"Chem. Phys. Lett.", 1976, 38, N 1,

171-175

(англ.)

0581

562 .563

573

ВИНИТИ

60929.1890

TC, Ch

C₂H₂O (oxirene)

(peroxyt, ⁴⁰⁷⁷ кб. сст.)

1976

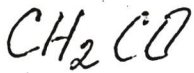
от. 4667

Strausz O. P., Gosavi R. K., Denes A.

S., Csizmadia I. G. Mechanism of the Wolff rearrangement. 6. Ab initio molecular orbital calculations on the thermodynamic and kinetic stability of the oxirene molecule. (см. прод.)

0142

"J. Amer. Chem. Soc.", 1976, 98, N 16,
4784-4786 (англ.)



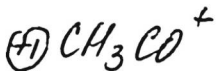
1976

12 Д301. Исследование триплетного состояния кетена с помощью техники электронного захвата. Vogt J., Jungén M., Beaucamp J. L. Triplet states of ketene by trapped electron spectroscopy. «Chem. Phys. Lett.», 1976, 40, № 3, 500—504 (англ.)

Пороговый спектр возбуждения молекул кетена электронным ударом исследован в области энергий до 10 эв. Спектр интерпретирован на основании неэмпирических расчетов, выполненных в приближении замороженного ядра. Энергии возбуждения триплетных состояний 3A_2 , 3A_1 и 3B_1 молекулы кетена равны 3,8; 5,0 и 5,8 соответственно. Библ. 25.

Энергии
возбуждения
триплетных
состоиний

Ф 1976 № 12



17696. Ausloos, P., Lias, S. G., The proton affinity of ketene and the heat of formation of CH_3CO^+ , *Chem. Phys. Lett.* 51, No. 1, 53-56 (Oct. 1, 1977).

Key words: acetone; acetyl ion; heat of formation; ketene; proton affinity; proton transfer.

The equilibrium for proton transfer involving acetone and ketene ($\text{CH}_3\text{COCH}_3\text{H}^+ + \text{CH}_2\text{CO} \rightleftharpoons \text{CH}_3\text{CO}^+ + \text{CH}_3\text{COCH}_3$) has been studied in a pulsed ion cyclotron resonance spectrometer. Values of 193.6 ± 1 and 194.1 ± 1 kcal/mole (1 kcal/mole = 4.18 kJoules) are obtained for the proton affinities of acetone and ketene, respectively (based on a proton affinity of 193.5 ± 1 kcal/mole for isobutene). A value of 161.5 ± 1 kcal/mole for $\Delta H_f(\text{CH}_3\text{CO}^+)$ is derived from these results.

J. Res. NBS, 1979,
84 v1

H₂C₂O

1944

Brown L. D.; et al.

Cu d. n.s.c.t.
Kb. c.c.c.t.

paper

J. Amer. Chem. Soc.
1944, 99, 3968-79

(ccer. C₃; H_2)

H₂C=C=O

L* 18-18367/ 1972

(pacted
Kod. ZAEMI)

Dewar Michael J. S.
J. Amer. Chem. Soc.
1977, 99, N₆, 1685-91

HOCCK

Lum 5378

1977

снуком.
M. b. cuneip.)
пачкой
M.

Eijck B. P., et al.

J. Mol. Struct., 1977,
39, 157-63.

H₂CCO ommech 5690 1974

Fabricant B., et al.

J. Chem. Phys., 1974, 67,
1576-86

Molecular beam electric
resonance study ...



(ac H₂CO) III

H_2CCO^+
 D_2CCO^+

Однотип 5710

1977

2 Д119. Электронное строение кетеновых катион-радикалов. Hall Desmond, Maier John P., Rosmus Pavel. Electronic states of ketene radical cation, «Chem. Phys.», 1977, 24, № 3, 373—378 (англ.)

Экспериментально методами фотоэлектронной спектроскопии исследованы дублетные электронные состояния X^2B_1 , A^2B_2 , B^2B_1 , C^2B_2 , D^2A_1 , E^2A_1 и F^2A_1 кетенового (H_2CCO^+) (I) и дейтерированного кетенового (D_2CCO^+) (II) катион-радикалов, полученные фотоионизацией излучением HeIa (58,4) и HeIIa (30,4 нм). Теоретически методом ССП МО ЛКАО в базисе гауссовских орбиталей $9s5p1d$ для C и O и $5s1p$ для H и в двухэкспоненц. базисе для d-АО вычислены орбитальные энергии, вертикальные потенциалы ионизации и полная энегрия I. Электронная корреляция учитывалась

Дискогони
сторонне

(+1) *

Ф. 1978 № 2

лась приближении псевдонаатуральных орбиталей взаимодействующих электронных пар (ПНО—ПВЭП). Вычисленные значения потенциалов ионизации хорошо согласуются с экспериментальными. Подробно обсуждается влияние перестройки электронной оболочки и корреляционных эффектов на вычисляемые энергии и потенциалы ионизации. Приведены фотоэлектронные спектры I и II, наблюдаемые колебательные частоты, частоты некоторых валентных и деформационных колебаний и наблюдаемые и вычисленные методом ССП и ПНО—ПВЭП потенциалы ионизации рассмотренных состояний.

В. А. Корсунов

отмечен 5710

1944

$\text{CH}_2 = \text{CO}$

4 Б127. Электронные состояния катион-радикала кетена. Hall Desmond, Major John P., Rosmus Pavel. Electronic states of ketene radical cation. «Chem. Phys.», 1977, 24, № 3, 373—378 (англ.)

Исследованы фотоэлектронные спектры кетена (I) и дейтерированного-I (II) (возбуждение Не-I и Не-II). Описание электронных состояний катион-радикалов I и II сделано на основе анализа зависимостей спектров от энергии возбуждения, влияния дейтерирования на частоты колебаний и расчетов потенциалов ионизации (ПИ) неэмпирич. методами ССП, конфигурац. взаимодействия в базисе парных натуральных орбиталей и связанных электронных пар. В последнем случае разность рассчитанных и эксперим. ПИ не превышает 0,3 эв. Получен след. порядок электронных состояний катион-радикала I (в скобках приведены энергии в эв относительно основного состояния I): 2B_1 (9,63), 2B_2 (13,84), 2B_1 (14,60), 2B_2 (16,08), 2A_1 (16,7), 2A_1 (18,2), 2A_1 (24,3). Проведен анализ поправок к теореме Купменса, связанных с эффектами реорганизации и корреляции. Отмечено, что корреляц. поправка положительна для трех первых и меняет знак для выше лежащих состояний. В. Фаустов

(у)

2: 1948, NY

CH_2CD

1977

1 Д464. Исследование ИК- и микроволновых спектров молекул кетена и его дейтеропроизводных в газовой фазе. Nemes László. A keten molekula és deuterált származékainak gazfázisú infravörös és mikrohullámú spektroszkópiájának vizsgálata.

lámú spektroszkópiai vizsgálata. «Kém. közl.», 1976
 (1977), 46, № 3—4, 434—440 (венг.; рез. англ.)

Получены микроволны, спектры и спектры ИК-поглощения паров кетена CH_2CO , CHDCO и CD_2CO при низкой температуре и давлении. Выполнено отнесение вращательных и колебательно-вращательных линий, определены энергии уровней и вращательные постоянные молекулы различного изотопного состава, константы центробежного растяжения и кориолисова взаимодействия. Рассмотрен механизм кориолисова взаимодействия между колебаниями типа B_1 и B_2 . Вычислены моменты инерции и определены геометрические параметры равновесной конфигурации.

М. Тонков

φ-1978 n1

C₂H₂CO

Joum 531G / 1977

(
φωτολυγ.)
Kr

Pilling M.J. et al.

968 - 984

Flash photolysis of ketene



8 cratse ne yeras Nasb neypis.

$\text{CH}_2=\text{CO}$

Келтесе 07.04.1974 1974

23 Б255. Теоретическое определение спектров молекулярных колебаний кетена и диазометана полуэмпирическим методом и ab-initio. Pouchain Claude, Dargelos Alain, Chaillet Max. Détermination théorique des spectres de vibrations moléculaires à partir de méthodes semi-empiriques et ab initio: cétène et diazométhane. «Spectrochim. Acta», 1977, A33, № 3—4, 253—259 (франц.; рез. англ.)

Следует
кб. исх.
расцен

Методами MiNDO/2 и ab-initio (STO/3G) вычислены гармонич. силовые коэф. для кетена и диазометана. Получено удовлетворительное согласие с эксперим. данными для обоих случаев, а также с лит. данными. Валентные силовые постоянные, рассчитанные методом MiNDO/2, дают частоты примерно на 20% выше экспериментальных. Недиагональная силовая постоянная взаимодействия связей CH мала по величине и положительна по знаку. Деформац. силовые постоянные, вычисленные методом ab-initio, лучше, чем в остальных.

Х. 1974 № 23

случаях, удовлетворяют эксперим. частотам. Проведены расчеты интенсивностей ИК-полос, средних амплитуд колебаний и постоянных кориолисова взаимодействия.

Е. Разумова

ри ф

CH_2CO

mmmmm 5307 1877

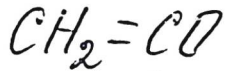
CH_2N_2

87: 174896h Theoretical determination of molecular vibrational spectra by semiempirical and ab initio methods: acetene and diazomethane. Pouchan, Claude; Dargelos, Alain; Chaillet, Max (Lab. Chim. Struct., Inst. Univ. Rech. Sci., Pau, Fr.). *Spectrochim. Acta, Part A* 1977, 33A(3-4), 253-9 (Fr). Complete quadratic force fields are calcd. for $\text{CH}_2\text{:CO}$ and CH_2N_2 using MNDO/2 and ab initio STO/3G wavefunctions by a numerical method agree with exptl. data. Calcd. IR intensities, vibrational frequencies, dipole moment derivs., and Coriolis coupling consts. are compared with exptl. data.

Kf. dikt.
paett



C.A. 1877. 87. N22



1977



Физика 5307

12 Д148. Теоретическое определение спектров молекулярных колебаний на основании полуэмпирических и неэмпирических методов: кетен и диазометан. Pouichan Claude, Dargelos Alain, Chaillat Max.
Détermination théorique des spectres de vibrations moléculaires a partir de méthodes semi-empiriques et ab ini-

J₁

(+) A

ЛЫ

Р. 1977, №12

tio: cétène et diazométhane. «Spectrochim. Acta», 1977,
A33, № 3—4, (франц.; рез. англ.)

С помощью расчетных методов МЧПДП/2 и неэмпирич. методов вычислены геометрич. параметры и силовые постоянные в координатах симметрии молекул кетена и диазометана. С этими силовыми постоянными рассчитаны частоты колебаний с отнесением их к типам симметрии, средние колебательные амплитуды и постоянные Кориолиса. Во всех случаях получено удовлетворительное совпадение с эксперим. данными. Найденные волн. ф-ции использованы также для определения производных дипольного момента по нормальным координатам и интенсивностей в ИК-спектрах. Преимущество квантового расчета силовых постоянных и электрооптич. параметров в сравнении с их полуэмпирич. определением заключается в однозначности найденных величин. Улучшение совпадений вычислительных и эксперим. значений может быть достигнуто путем учета взаимодействия конфигураций.

М. А. Ковнер

CH₂CO

AH⁺

47

Х: 1948 НКС

22 Б1106. Изучение свойств и реакций кетена в газовой фазе методами спектроскопии ионно-циклотронного резонанса и фотоионизационной масс-спектрометрии. Сродство к протону, специфичность места протонирования и теплота образования кетена. Vogt Jürgen, Williamson Ashley D., Beauchamp J. L. Properties and reactions of ketene in the gas phase by ion cyclotron resonance spectroscopy and photoionization mass spectrometry. Proton affinity site specificity of protonation, and heat of formation of ketene. «J. Amer. Chem. Soc.», 1978, 100, № 11, 3478—3483 (англ.)

Методами ионно-циклотронного резонанса и фотополионизации, масс-спектрометрии изучены ионно-молек. р-ции с участием CH₂CO и CD₂CO или соотв-щих молек. ионов, наиболее характерными среди к-рых является перенос CH₂(CD₂)-группы к катион-радикалам. Рассчитаны теплоты образования CH₂CO и CH₃CO⁺ равные $-11,4 \pm 0,4$ и $154,9 \pm 2$ ккал·моль⁻¹, соотв. Определена величина сродства к протону CH₂CO, равная $195,2 \pm 2$ ккал·моль⁻¹. При взаимодействии CH₂CO с CD₅⁺ или C₂D₅⁺ протонирование идет по О-атому, тогда как при использовании протонированных молек. ионов О-содержащих соединений — по С-атому. Д. В. Загоревский

CH₂CO

XIV-9099

1978

10 Б48. Расчет вертикальных потенциалов ионизации кетена с учетом поправок теории возмущений к теореме Купменса. Chong D. P. Calculation of vertical ionization potentials of ketene by perturbation corrections to Koopmans' theorem. «Theor. chim. acta», 1978, 50, № 2, 181—184 (англ.)

Неэмпирическим, методом ССП МО ЛКАО в двух экспоненциальном базисе рассчитан кетен (I). С помощью варианта теории возмущений (ТВ) Релея — Шредингера рассчитаны поправки к теореме Купманса для 6 первых вертикальных орбитальных потенциалов ионизации (ПИ) I. Полученные ПИ сопоставлены с эксперим. значениями и результатами проведенного ранее прямого расчета I и соотв-щих катион радикалов в триэкспоненциальном базисе с учетом конфигурац. взаимодействия парных натуральных орбиталей (КВПНО). Данный расчет за счет ТВ учитывает ≈92% корреляц. энергии, полученной в методе КВПНО

*y, ε_i
расчет*

Х.1340.110

Учет поправок ТВ, в целом, приводит к улучшению согласия с эксперим., однако ошибка в расчете ПИ все еще остается выше расщепления наиболее близко-лежащих состояний катион радикала I ($\sim 0,5$ эв). Заметно меньшую ошибку, однако, также не достаточную для надежного отнесения наиболее близколежащих уровней I, дает метод КВПНО, требующий много большего объема вычислений. В. Фаустов

ади

Э.1949.Н10

CH₂CO

XIV-9099

1978

*расчет
(7)*

4 Д148. Расчет вертикальных потенциалов ионизации кетена с помощью поправок по теории возмущений к теореме Купманса. Chong D. P. Calculation of vertical ionization potentials of ketene by perturbation corrections to Koopmans' theorem. «Theor. chim. acta», 1978, 50, № 2, 181—184 (англ.)

Неэмпирическим методом ССП МО ЛКАО в базисе гауссовских ф-ций, сгруппированном в двухэкспонентный, рассчитаны вертикальные потенциалы ионизации кетена. Расчеты проведены на основе теоремы Купманса с включением поправок по теории возмущений Рэлея — Шрёдингера (Chong D. P. et al., «J. Electron Spectry», 1975, 7, 445). Полученные результаты согласуются с эксперим. данными примерно с такой же точностью, что и результаты расчетов методом парных натуральных орбиталей в приближении связанных электронных пар с расчетом потенциалов ионизации как разностей энергий нейтральной и ионизованной молекул, но требуют существенно меньших затрат машинного времени на расчеты.

В. Л. Лебедев

Ф-1979, № 4

CH_2CO

1978

Davidson William
R., et al.

A_H^+

Can. J. Chem. 1978, 56,
N^o, 1016-19



att. $\text{CH}_3\text{CO}^+ - \text{I}$

$$\text{CH}_2\text{CO}$$

Summer 6738

1978

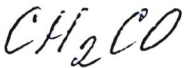
23 Б47. Неэмпирическое исследование энергий и структур кетена, оксирена и этинола. Dykstra C. E. An ab initio study of the energies and structures of ketene, oxirene, and ethynol. «J. Chem. Phys.», 1978, 68, № 9, 4244—4247 (англ.)

Неэмпирическим методом ССП МО ЛКАО в биэкспоненциальном базисе (Б1) и Б1 дополненном поляризацией функциями на атомах Н, С и О (Б2) рассчитаны кетен (**I**) и его гипотетич. изомеры оксирен (**II**) и этинол (**III**). Расчеты проводились в однодетерминантном приближении и с учетом электронной корреляции самосогласованным методом электронных пар (см. Meyer, «J. Chem. Phys.», 1976, **64**, 2901) учитывающим mono- и двухкратно возбужденные конфигурации, а также четырехкратно возбужденные конфигурации типа $a^2b^2 \rightarrow c^2d^2$. Для всех структур проводилась полная оптимизация геометрии в Б1 и Б2. Рассчитанная геометрия **I** хорошо согласуется с экспериментальной. Наиболее стабильным изомером найден **I**, энергии **II** и **III** относительно **I** равны: **I** 86,6 ккал/моль; **III** 35,4 ккал/

X-1948, N 23

/моль. Наиболее существенный вклад в определение относит. энергию I и II вносит учет энергии корреляций, к-рый понижает разность энергий на 7,1 ккал/моль, для отношения энергий изомеров I и III более существенно расширение базиса (переход от Б1 к Б2 изменяет относит. энергию на 5,0 ккал/моль). Проведены оценочные расчеты энергии активации изомеризации III \rightarrow I, из к-рых следует, что барьер этой р-шии, по-видимому, превышает 20 ккал/моль. В. Фаустов

ся
Обра
пн



до, фото-
диссоц.

5 Д819. Порог фотодиссоциации кетена с образованием $\text{CH}_2(\tilde{a}^1A_1)$ и энергетическое расстояние между состояниями $\text{CH}_2(a^1A_1 - \tilde{X}^3B_1)$. Feldmann D., Meier K., Zacharias H., Welge K. H. The threshold for photodissociation of ketene into $\text{CH}_2(\tilde{a}^1A_1)$ and the $\text{CH}_2(a^1A_1 - \tilde{X}^3B_1)$ energy separation. «Chem. Phys. Lett.», 1978, 59, № 1, 171—177 (англ.).

Спектральные зависимости относительных квантовых выходов образования радикалов $\text{CH}_2(\tilde{a}^1A_1)$ в состояниях $(0, 0, 0)$ и $(0, 1, 0)$ исследованы в области порога (310—355 нм) процесса $\text{CH}_2\text{CO}(\tilde{X}^1A_1) + h\nu \rightarrow \text{CH}_2(\tilde{a}^1A_1) + \text{CO}$. Источником фотолизирующего излучения служил перестраиваемый лазер на красителе. Образующиеся при фотодиссоциации радикалы $\text{CH}_2(\tilde{a}^1A_1)$ регистрировались по флуоресценции, возбуждаемой другим перестраиваемым лазером. Определена пороговая энергия диссоциации кетена с образованием $\text{CH}_2(\tilde{a}^1A_1)$ $85,4 \pm 0,3$ ккал/моль. Оценено энергетич. расстояние между состояниями a^1A_1 и \tilde{X}^3B_1 радикала I_2 , $(9,8 \pm 1,5)$ ккал/моль. Библ. 34.

В. С. Иванов

CH_2CO

Concise 7216

1978

Kato Mikoshi, et al.

macromol.
recep.

J. Phys. Chem., 1978, 82,
N^o 2115-20.

act. $\text{H}_2\text{CO-III}$

CH2CO

[Cust. HANNOCKE QUANTITY] 1978

Kuchitsu K. Takabayashi
Maeayu, cupyx. IX Hungariau 'diffraction' conference. 14-19 august 1978. Collected Abstracts.



CP 25-27

H₂CCO

1978
3 Д370. Колебательно-вращательный анализ находящихся в кориолисовом резонансе полос ν_5 , ν_6 , ν_8 и ν_9 H₂CCO. Nemes L. Rotation-vibration analysis of the Coriolis-coupled ν_5 , ν_6 , ν_8 and ν_9 bands of H₂CCO. «J. Mol. Spectrosc.», 1978, 72, № 1, 102—123 (англ.)

Получены спектры ИК-поглощения паров H₂CCO при т-рах от —70 до +40° С в области 400—1000 см⁻¹ с разрешением 0,5 см⁻¹ и с разрешением 0,22 см⁻¹ в области 330—450 см⁻¹. Приведены спектры в области полос ν_5 , ν_6 , ν_8 и ν_9 . Интерпретация спектров выполнена в приближении симметричного волчка. Приведены частоты максимумов компонент K-структуры. При анализе спектров учтены кориолисовы возмущения частот и интенсивностей колебательно-вращательных линий. Определены частоты колебательных переходов, константы кориолисова взаимодействия и относит. значения невозмущенных матричных элементов дипольного момента для этих полос. Библ. 26.

Ф. 1979, № 3.

H₂CCO

отмск 6801

1978

З Б265. Анализ вращательно-колебательной структуры связанных кориолисовым взаимодействием v_5 , v_6 , v_8 и v_9 полос H₂CCO. Nemes L. Rotation-vibration analysis of the Coriolis-coupled v_5 , v_6 , v_8 and v_9 bands of H₂CCO. «J. Mol. Spectrosc.», 1978, 72, № 1, 102—123 (англ.)

На дифракц. спектрометре в области частот от 1000 до 400 см⁻¹ с разрешением от 0,30 до 0,60 см⁻¹ и на фурье-спектрометре в области частот от 450 до 330 см⁻¹ с разрешением 0,22 см⁻¹ измерен ИК-спектр поглощения полос v_5 , v_6 , v_8 и v_9 кетена, H₂CCO. Выполнен анализ спектра для модели симм. волчка с учетом кориолисова взаимодействия между исследованными колебательными состояниями. Для всех полос определены эффективные вращательные постоянные. Величины центров полос v_5 , v_6 , v_8 и v_9 , соотв., равны (в см⁻¹) $v_0=587,30$ (27), 528,36 (39), 977,8 и 439,0. Оценены значения констант кориолисова взаимодействия.

С. Н. Мурзин

2.1979.№3

H₂CCO

announced 6801

1978

89: 97441t Rotation-vibration analysis of the Coriolis-coupled ν_5 , ν_6 , ν_8 and ν_9 bands of ketene. Nemes, L. (Cent. Res. Inst. Chem., Hung. Acad. Sci., Budapest, Hung.). *J. Mol. Spectrosc.* 1978, 72(1), 102-23 (Eng). Medium resoln. IR grating spectra of gaseous ketene, H₂CCO, were recorded between 1000 and 400 cm⁻¹, both at instrument temp. (40°) and with cooling (-40°). Interferometric Fourier spectra were also measured at -70° with resoln. 0.22 cm⁻¹ between 450 and 330 cm⁻¹. The K structure of the fundamentals ν_5 , ν_6 , ν_8 , and ν_9 was assigned. These fundamentals are coupled by α -axis Coriolis interactions. These couplings were analyzed on the sym. top basis for setting up the perturbation matrix and by utilizing the K-dependent Coriolis shifts of levels. A preliminary anal. of the Coriolis intensity anomalies was also undertaken. Band center values from combination differences are $\nu_5^0 = 587.30(27)$ and $\nu_6^0 = 528.36(39)$ cm⁻¹. Synthetic spectra indicate the band origins of ν_8 and ν_9 to be close to 977.8 and 439.0 cm⁻¹, resp. Ests. of the Coriolis coupling consts. obtained from synthetic spectra are $\xi_{68}^a = +0.33(5)$, $\xi_{65}^a = +0.714(20)$, $\xi_{59}^a = -0.774(20)$, and $\xi_{69}^a = -0.30(2)$. Approx. ratios of unperturbed vibrational transition moments obtained from spectral simulations are $M_8^0: \pm iM_5^0: \pm iM_6^0: M_9^0 \approx +2: -9: +10: +0.5$.

CA, 1978, SG/NR

C₂H₂O

1648

8 Д182. Неэмпирические расчеты методом молекулярных орбиталей оксиранилидена и этинола. Strausz O. P., Gosavi R. K., Gunning H. E. Ab initio molecular orbital calculations on oxiranylidene and ethynol. «Chem. Phys. Lett.», 1978, 54, № 3, 510—513 (англ.)

Методом ССП МО с использованием гауссова базиса из 80 примитивных ф-ций выполнены расчеты полной энергии молекулы C₂H₂O в пяти изомерных состояниях с проведением оптимизации по геометрич. параметрам. Проведены также вычисления энергетич. профиля вдоль избранной координаты реакции для изомеризации: формилметилен→кетен→оксиранилиден. Найденные значения энергетич. барьеров сравнены с имеющимися данными. Библ. 18.

А. Ф. Шестаков

*расчеты
изомерной
энергии*

СР, 1978, № 3

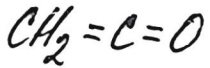


фото-
диссоц.

7 Б48. Теоретическое изучение путей фотодиссоциации $\text{CH}_2=\text{C}=\text{O} \rightarrow \text{CH}_2 + \text{CO}$. Yamabe Shinichi, Mogokuma Keiji. A theoretical study on the paths of photodissociation: $\text{CH}_2=\text{C}=\text{O} \rightarrow \text{CH}_2 + \text{CO}$. «J. Amer. Chem. Soc.», 1978, 100, № 24, 7551—7556 (англ.)

Построены MQ и корреляц. диаграммы между исходным и конечным состояниями для р-ции диссоциации $\text{CH}_2=\text{C}=\text{O}$ (I) $\rightarrow \text{CH}_2 + \text{CO}$. На их основе проанализированы симм. и несимм. пути р-ции в различных возбужденных состояниях. Для разрешенных по симметрии путей р-ции неэмпирич. обобщенным ограниченным методом Хартри — Фока для синглетных и триплетных состояний (см. «Chem. Phys. Lett.», 1973, 21, 565) в миним. базисе OCT-3ГФ рассчитаны сечения потенциальной поверхности. Использование однодетерминантного приближения обосновано расчетом многоконфигурац. методом ССП отдельных точек на потенциальной поверхности, к-рый показал, что основной вклад в волновую функцию вносит только один детерминант. Найдено 4 канала фотодиссоциации I из $\pi-\pi^*$ -возбужденного синглетного и триплетного состояний в плоскости I и с выходом из плоскости I. Для плоского канала р-ции атом С карбонильной группы при разрыве связи C—C остается лежать на оси симметрии CH_2 , угол C—C—O $\sim 180^\circ$.

2. 1979 г.

шается от 180° в I до почти 90° при больших расстояниях С—С. Для канала р-ции с выходом из плоскости характерно одновременное смещение атома С карбонильной группы с оси симметрии CH_2 и уменьшение угла С—С—О от 180 до 90° . В синглетном состоянии оба рассчитанных сечения потенциальной поверхности для плоского и неплоского каналов не имеют активац. барьеров. В триплетном состоянии небольшие активац. барьеры обнаружены для обоих каналов р-ции, в переходном состоянии расстояние С—С ~ 2 Å. Отмечено, что результаты расчетов очень слабо зависят от мультиплетности реакц. системы. Геометрич. изменения I в ходе диссоциации интерпретированы путем выделения отдельных вкладов в полную энергию реакц. системы для обратной р-ции $\text{CH}_2^* + \text{CO} \rightarrow \text{CH}_2\text{CO}^*$. Показано, что при малых расстояниях С—С, близких к длине валентной связи в I, ориентация CH_2 и CO такова, что перекрывание между σ орбиталью атома углерода CH_2 и орбиталями CO максимально увеличивает притяжение CH_2 и CO за счет переноса заряда, обменное отталкивание при этом почти не увеличивается.

К. Я. Бурштейн

CH_2CO

smmcu 8322

1979

Kb. recx,
-fackets
E,

Castro, E.A.

Int. J. Quant. Chem.,
1979, 15/ 15, 355-358.

H₂C O 1980
yug k.
Theor. chim. acta, 1980, 57,
N₂, 104-30.
recomm.,
M. Chagu
(Y)

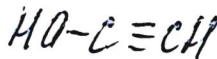
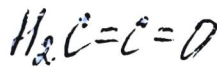
cell. H₂- \overline{H}

1980

11 Б60. Неэмпирическое изучение кетена, оксиацетилены, формилметиlena, оксирена и путей их перегруппировок. Тапака Кiyoshi, Yoshimine M. An ab initio study on ketene, hydroxyacetylene, formylmethylenе, oxirene, and their rearrangement paths. «J. Amer. Chem. Soc.», 1980, 102, № 26, 7655—7662 (англ.)

Методами ССП и конфигурац. взаимодействия (КВ) с наложением всех однократно и двукратно возбужденных конфигураций выполнены неэмпирич. расчеты низших синглетных состояний 4 изомеров C_2H_2O : кетена $H_2C=C=O$ (I), оксиацетилены $HO-C\equiv CH$ (II), формилметиlena $HC-CHO$ (III) и оксирена $HC=CH-O$ (IV).

В расчетах применялись базисы 4-31ГФ и двухэкспонентный с включением поляризац. функций (ДЭПФ). Точность расчета равновесной геометрии изученных соединений методом КВ в ДЭПФ базисе не хуже $\pm 0,01$ Å для длин связей и $\pm 1^\circ$ для углов, что подтверждают эксперим. данные структуры I. Точность рассчитанных вращательных постоянных не хуже ± 100 МГц. Наиболее стабильным изомером найден I; относит. энергии прочих равны, соотв., 36,4 (II), 79,7 (III) и 80,2 (IV) ккал/моль. При этом III не отвечает



Кб. докт.
рассел
фальк.
шорес

Х. 1981. № 11

локальному минимуму на энергетич. поверхности, рассчитанной методом КВ, и без активац. барьера переходит в I. В рамках метода ССП такой барьер, хотя и незначительный (0,9 ккал/моль), но имеется. Подробно исследовано влияние включения поляризац. ф-ций в базис и учета корреляции на энергетич. характеристики I—IV. Рассчитанные энергии след. р-ций диссоциации составляют (ккал/моль): I \rightarrow CH₂ (a^1A_1) + CO ($X^1\Sigma^+$), 77,4; II \rightarrow C₂H ($X^2\Sigma^+$) + OH ($X^2\Pi$), 109,7; IV \rightarrow C₂H₂ ($X^1\Sigma_g^+$) + O (1D), 80,2. Точность этих результатов оценена в ± 10 ккал/моль. Барьер процесса IV \rightarrow III невелик (2 ккал/моль). Перегруппировка II \rightarrow I имеет высокий барьер (73,2 ккал/моль), протекает без нарушения пла-парности, и переходное состояние соответствует плос-кому III. Барьер процесса III \rightarrow II также велик (51,6 ккал/моль). Для энергии диссоциации диазоаце-тальдегида N₂CHCHO (V) на N₂ и III расчет дает ве-личину 30 ккал/моль. На основании полученных ре-зультатов, с учетом данных предв. расчетов возбуж-денных состояний, можно сделать след. выводы отно-сительно механизма перегруппировки Вольфа (ПВ) V: 1) II не играет роли в ПВ; 2) III не является ста-бильным изомером; 3) IV не является долгоживущим интермедиатом; 4) термич. ПВ протекает на Пв основ-ного состояния системы C₂H₂O, и перераспределение изотопной метки (ПИМ) углерода зависит от наличной колебательной энергии; 5) в фотохим. ПВ V, а также при фотолизе I ПИМ протекает на Пв основного со-стояния C₂H₂O.

В. Я. Беспалов

H₂CCO see also 12815 1981

Bohm M. C., Gleiter R.

y Theor. chim. acta, 1981,
59 (2), 153 - 179.

CH_2CO Lommack 12782 } 1981

Flyzgar S., et al.

K.B. MEX.
paper

Canad. J. Chem., 1981,
59, 1074- 82

CH_2CO

Lommel 12085 | 1981

Lievin J., Breerlet J.,
et al.

Do;

Theor. chim. acta, 1981,
60, N 4, 339 - 353.

1981

CH₂CO⁺

9 Д250. Кинетическая энергия, освобождаемая при фрагментации ионов кетена в метастабильные состояния. Kinetic energy release in the metastable fragmentation of ketene ions. Lorguet J. C. «Int. J. Mass Spectrom. and Ion Phys.», 1981, 38, № 2—3, 343—350 (англ.)

Рассматривается бесстолкновительная фрагментация ионов кетена $\text{CH}_2\text{CO}^+ \rightarrow \text{CH}_2^+ + \text{CO}$ в метастабильные состояния. Наблюдавшееся в работе Хиязи и др. (Hijazi N. H. et al. «Org. Mass Spectrom.», 1979, 14, 119) распределение поступательной энергии для этого процесса интерпретируется в настоящей работе на основании модели двумерной поверхности потенц. энергии. В этой модели возможен переход энергии между распадающейся связью, характеризуемой расстоянием R между С—С-связью и изогнутым видом связи НСН, характеризуемой углом θ . Фрагментация CH_2CO^+ определяется пересечением поверхностей потенц. энергии, соответствующих ионам кетена и фрагментированным ионам CH_2^+ , находящимся в основном и возбужден-

(41) CH_2^+

(4.4f)

φ. 1981/19

см. 8 ю

ном состояниях. Наблюдавшееся в эксперименте Хиязи и др. быстрое уменьшение поступательной энергии обусловлено для медленных ионов возможностью перехода из этих двух состояний. Для теплот образования ионов CH_2^+ в различные состояния получены следующие оценочные данные (в ккал/моль): $\Delta H_{f^\circ}^0 (\text{CH}_2^+, {}^2\Pi) = 333,1 \pm 0,4$; $\Delta H_{f^\circ}^0 (\text{CH}_2^+, X^2A_1) \leq 329$; $\Delta H_{f^\circ}^0 (\text{CH}_2, X^3B_1) \leq 89,3$.
Библ. 16.

И. Флакс

ых
о-

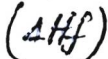
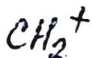
1981



19 Б1097. Выделение кинетической энергии при метастабильной фрагментации ионов кетена. Loguet J. C. Kinetic energy release in the metastable fragmentation of ketene ions. «Int. J. Mass Spectrom. and Ion Phys.», 1981, 38, № 2—3, 343—350 (англ.)

метастабильной диссоциации, Теоретически исследован процесс выделения кинетической энергии в результате метастабильной диссоциации иона кетена: $\text{CH}_2\text{CO}^+ \rightarrow \text{CH}_2^+ + \text{CO}$. Распределение поступательной энергии среди продуктов автоионизации определено с использованием двухмерной Пв потенциальной энергии, к-рая допускает обмен энергией между разрываемой связью и колебательной энергией изгиба связи HСН. Обнаружено, что порог диссоциации с образованием иона CH_2^+ находится несколько ниже 1-го электронновозбужденного состояния иона CH_2CO^+ , поэтому практически все ионы образуются в результате автоионизации. Используя предложенную модель проведены расчеты теплот образования иона CH_2^+ в раз-

(+) (ΔHf)



х. 1981, N19

личных состояниях. Получены след. значения теплот
образования: $\Delta H_{f0}^0 (\text{CH}_2^+, {}^2\text{P}) = 333,1 \pm 0,4$ ккал/моль,
 $\Delta H_{f0}^0 (\text{CH}_2^+, {}^2\tilde{\text{A}}_1) = 329$ ккал/моль и $\Delta H_{f0}^0 (\text{CH}_2^+, {}^3\tilde{\text{B}}_1)$
89,3 ккал/моль. Показано, что ни модель Клота, ни
метод *QET* не могут удовлетворительно описать на-
блюдаемое экспериментально распределение поступа-
тельной энергии в процессе ионизации ионов кетена.

Р. Р. Бородулин

CH_2CO

1981

23 Б92. Исследование силового поля кетена методом функции Грина. Namasivayah R., Каппап K. Force field study of ketene through Green's function analysis. «Acta phys. pol.», 1981, A59, № 5, 653—658 (англ.)

С помощью метода ф-ции Грина рассчитано силовое поле плоской молекулы кетена CH_2CO (I) в предположении симметрии C_{2v} . Полученные силовые постоянные сопоставлены с найденными ранее. Сделан вывод, что рассчитанный набор силовых постоянных правильно воспроизводит все особенности силового поля молекулы I. Записаны правила произведений для отдельных типов симметрии (A_1 , B_1 и B_2). С найденным силовым полем рассчитаны среднеквадратичные амплитуды, постоянные кориолисова взаимодействия и центробежного искажения.

Ю. Н. Панченко

X. 1981, 19, № 23.

CH₂CO

1981

СЛА. ПОСТ.

11 Д65. Расчет силового поля кетена методом функции Грина. Force field study of ketene through Green's function analysis. Namasivayam R., Каплан K. «Acta phys. pol.», 1981, A59, № 5, 653—658 (англ.)

Методом ф-ции Грина по литературным данным для частот колебаний вычислены силовые постоянные, постоянные кориолисова взаимодействия и квартичного центробежного искажения и средние амплитуды колебаний для молекулы CH₂CO. Получено согласие с эксперим. данными. Выведены изотопич. соотношения для частот колебаний.

М. Р. Алиев

φ. 1981, 18, NII.

CH_2CO

1981

Scheveig Armin, et al.

J. Amer. Chem. Soc.

publ. 1981, 103, N₆, 1425 -
recep. 1981. - 1431.

(accs. C_2H_4 ; II).

C_2H_2O

1982

18 Б67. О существовании стабильных структурных изомеров кетена. Теоретическое исследование поверхности потенциальной энергии C_2H_2O . Bouma Willem J., Nobes Ross H., Radom Leo, Woodward Clifford E. On the existence of stable structural isomers of ketene. A theoretical study of the C_2H_2O potential energy surface. «J. Org. Chem.», 1982, 47, № 10, 1869—1875 (англ.)

几何рическая
структура,
но

Неэмпирическим методом ССП МО ЛКАО детально исследована П потенциальной энергии системы C_2H_2O . Равновесные структуры и геометрии переходных состояний были непосредственно определены градиентной оптимизацией энергии в базисе 4-31 ГФ. Найденные геометрич. параметры критич. структур были использованы для уточненных расчетов энергии в базисе 6-31 ГФ** с включением корреляц. энергии на основе расчета по теории возмущений Меллера—Плессета вплоть до 3-го порядка включительно. Учтена также поправка на энергию нулевых колебаний. Три структуры найдены стабильными и доступными эксперим. обнаружению:

ж. 1982, 19,
N 18.

структура кетена, оксиацетилена и оксирианилдена. Последние две пока не были обнаружены экспериментально, они проигрывают кетену по энергии 152 и 244 кДж/моль. Оксиацетилен отделен от кетена барьером 305 кДж/моль (через последовательные 1,2-сдвиги протона), а наиболее низкоэнергетич. процесс для оксирианилдена отвечает мономолек. распаду на CH_2 и CO (105 кДж/моль). Остальные возможные структуры найдены нестабильными. А. Багатурьянц

CH_2CO

1982

Breulet Jacques.,
Meopem. Lievin Jacques.
paarem

Theor. Chim. Acta 1982,
61 (1), 59-72.

(c.u. BH_3CO ; III)

CH₂CHO

1982

Chandra Singh U.,
Basu P.K., et al.

пациент

поменувало J. Coll. Street. 1982,
Бхумпрен.
Браун.

87, N2, Suppl.: Theo-
Chem, 4, N2, 125-132.

(c.u. H₂O₂; \underline{III})

$\text{HC} \equiv \text{COH}$

от 14943

1982

5 Б295. Квантово-механические расчеты вращательного и колебательного спектров этинала. Rotational and vibrational spectra of ethynol from quantum-mechanical calculations. De Frees D. J., McLean A. D. «J. Phys. Chem.», 1982, 86, № 15, 2835—2837 (англ.)

Проведены квантово-мех. расчеты пространственной структуры, спектроскопич. постоянных молекулы этинала, $\text{HC} \equiv \text{COH}$, с целью использовать эти данные для его идентификации методом вращательной спектроскопии на земле и в космосе, а также методом колебательной спектроскопии в низкотемпературных матрицах. Гармонич. колебательные частоты рассчитывали методом Хартри—Фока в расширенной версии программы гаусман 80 (ХФ/З-21Г). С применением эмпирич. масштабного фактора получены след. значения частот (в см^{-1}): 473, 517, 773, 841, 1003, 1217, 2206, 3285, 3418. Неэмпирич. расчет дает величину полного диполь-

и. н.
Чемпир.
структур.

Х. 1983, 19, N5.

ного момента $1,79D$ и след. значения вращательных по-
стоянных (в ГГц): $A_c=652,843$, $B_c=9,546$, $C_c=9,408$.
С учетом эмпирич. масштабных факторов, они исполь-
зованы для предвычисления частоты $4_{04} \rightarrow 3_{03}$ перехода
($76,81 \pm 0,3$ ГГц) с триплетным расщеплением в 0,30—
0,01 ГГц.

В. М. Михайлов



HCCOH

On 14943 1982

97: 46669f Rotational and vibrational spectra of ethynol from quantum-mechanical calculations. DeFrees, D. J.; McLean, A. D. (Mol. Res. Inst., Palo Alto, CA 94304 USA). *J. Phys. Chem.* 1982, 86(15), 2835-7 (Eng). Ethynol, HCCOH, has not been obsd. despite a theor. prediction of its stability to tautomerization to ketene. Identification of this unknown mol., either in space or in the lab., can be aided by ab initio calen. of spectroscopic parameters. At the HF/3-21G level, harmonic vibrational frequencies were computed via analytic second differentiation of the Hartree-Fock (HF) energy with respect to the nuclear coordinates. After application of an empirical scale factor, the resultant frequencies are (in cm⁻¹) 473, 517, 773, 841, 1003, 1217, 2206, 3285, and 3418. At the CISD/DZ+P level, the computed dipole moment is 1.79 D. At the CISD+Q/DZ+P level, the mol.'s rotational consts. were detd. After scaling by empirical correction factors they were used to derive the 4₀₄ → 3₀₃ frequency of 76.81 ± 0.3 GHz with a triplet splitting (4₁₄ → 3₁₃ and 4₁₃ → 3₁₂ relative to the 4₀₄ → 3₀₃ transition as the central line) of 0.30 ± 0.01 GHz.

Kondam. U
William.
Chakravarthy

C.A.1982, 97, w6

CH_2CO

Омск 13844

1982

Huber H., Vogt J.,

Chem. Phys., 1982, 64,
N 3, 399-411.

АР
(среднебок
протону)
исследован,
структура,
расчет.

CH_2CO

1982

Ohwada Ken.

pacree $\ddot{\text{e}}$ J. Chem. Phys., 1982,
cav. no $\ddot{\text{e}}$ 77, N $\ddot{\text{e}}$, 424-428.

4 E.

(cav. BeB; Ⅲ)

CH_2CO

1984

Beach D.B., Eyermann
C.Y., et al.

H_4^+

J. Amer. Chem. Soc., 1984,
106, N^o 3, 536-539.

(c.c. N_2O ; III)

$[\text{C}_2\text{H}_2\text{O}]^+$ On. 20699 1984

Boura W.Y., Bill P.M.W.,
et al.,

rolexx008
romers.
Keepme

Org. Mass Spectrom.
1984, 19, N 12, 610-616.

H_2CCO

[DM. 19661]

1984

Kysel O, Danciger J.

энергии

Электрон.

переходов;

метод.

параметр.

Chem. vesti, 1984,

38, N 3, 289 - 294.

CH_2CO

1985

Nesbitt David J.,
Petek Hrvoje, et al.

J. Chem. Phys., 1985,
83, N1, 223 - 229.

( CO ; III)

1986

 $H_2C=C=O$

У9 Д145. Неэмпирическое изучение низколежащих электронных состояний кетена. Ab initio studies of the low-lying electronic states of ketene. Allen Welle D., Schaefer Henry F. III. «J. Chem. Phys.», 1986, 84, № 4, 2212—2225 (англ.) Место хранения ГПНТБ СССР

С помощью различных неэмпирич. методов и при использовании различных базисных наборов из сгруппированных гауссовых ф-ций исследованы электронные состояния X^1A_1 , 3A_2 , ($^3A''$), 1A_2 ($^1A''$), 3A_1 ($^3A'$), 1B_1 и 2^1A_1 кетена $H_2C=C=O$. Использованы методы ССП и конфигурац. взаимодействия с учетом одно- и двухкратно возбужденных конфигураций. Расчеты выполнены в рамках двухэкспонентного базиса с включением поляризационных и ридберговых орбиталей. Определены вертикальные энергии электронных возбуждений, а также гармонические колебательные частоты для ряда возбужденных состояний в их равновесных конфигурациях. Отмечено, что вследствие конич. пересечений минимумы существуют только для электронных состояний $^3A''$ и $^1A''$.

Е. А. Ж.

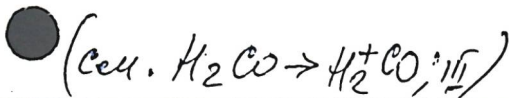
оф. 1986, 18, № 9



Bitto H., Geyer D.R.,
Polic W.F., et al.,

whereas
however,
Hippurite

Faraday Discuss. Chem.
Soc., 1986, N 82, 149-161.



HCCO
(DCCO)

(II. 1.)

1986

11 Л485. Индуцированная лазером флуоресценция радикалов HCCO (DCCO), образующихся в реакции $O + C_2H_2(C_2D_2)$. Laser induced fluorescence of HCCO (DCCO) radical formed in $O + C_2H_2(C_2D_2)$ reaction.
Itoue Gen, Suzuki Makoto. «J. Chem. Phys.», 1986, 84, № 7, 3709—3716 (англ.)

В области 310—370 нм получены спектры возбуждения флуоресценции радикалов HCCO и DCCO, образование которых происходило в газофазных реакциях $O + C_2H_2(C_2D_2)$. Для ряда длин волн возбуждающего лазера на красителе получены также диспергированные спектры флуоресценции упомянутых радикалов. В спектрах идентифицированы полосы, относящиеся к системе переходов $X^2A' \rightarrow ^2A''$. Оценены бесстолкновительные времена жизни для HCCO и DCCO (0,14 и 3,8 мкс соответственно). По эксперим. данным определены энергии некоторых электронно-колебательных состояний. Библ. 23.

М. Т.

Ф. 1986, 18, N 11.

CH_2CD

(on. 29006)

1987

Allen W.D., Schaefer H.F.

^{21}Ar eon,
re

J. Chem. Phys., 1987,
87, N₁₂, 7076 - 7095.

М-С≡С-ОН

от. 27996

1987

5 Б1110. Колебательный спектр этинола: неэмпирический расчет и исследования методом матричной изоляции. Vibrational spectrum of ethynol: ab initio calculation and matrix isolation studies. Dommen J., Rodler M., Ha Tae-Kyu. «Chem. Phys.», 1987, 117, № 1, 65—72 (англ.)

В базисе 6—31 ГФ** проведены неэмпирические расчеты квадратичных силовых постоянных (СП) и пренебрежимо малого момента (ПДМ) молекулы этинола $\text{H}-\text{C}\equiv\text{C}-\text{OH}$ (I). ПДМ вычислены методом ССП, а СП — по теории возмущений 2-го порядка Мёллера—Плессета. После эмпирического масштабирования СП рассчитаны частоты колебаний, интенсивности ИК-спектров и квартичные константы центробежного искажения. Методом изоляции в аргоновой матрице изучены ИК-спектры продуктов р-ций $\text{OH}+\text{CH}_3\text{C}\equiv\text{CH}$, $\text{OH}+\text{HC}_4\text{H}$, $\text{H}+\text{C}_3\text{O}_2$ и $\text{Ar}^*+\text{HC}\equiv\text{CCOOH}$. Линии, принадлежащие молекуле I, не обнаружены.

М.Л.

— В. Г. Соломоник

X. 1988, 19, N 5

H₂CCO

от 26044 1987

9 Л 187. Исследование вращательной структуры инфракрасных полос основных колебаний типа A_1 изотопзамещенных кетена при высоком разрешении. High-resolution infrared rovibrational studies of the A_1 species fundamentals of isotopic ketenes. Duncan J. L., Ferguson A. M., Нагрег J., Tonge K. H., Hegelund F. «J. Mol. Spectrosc.», 1987, 122, № 1, 72—93 (англ.)

На фурье-спектрометре с разрешением $0,05 \text{ см}^{-1}$ исследованы ИК-спектры поглощения 4-х изотопзамещенных молекулы H₂CCO. Частично идентифицирована вращательная структура полос полносимметричных основных колебаний $v_1 \div v_4$ молекул H₂CCO, D₂CCO, H₂¹³CCO и H₂C¹³CO. Структура всех этих полос в случае H₂CCO сильно возмущена внутримолекулярными взаимодействиями, природа которых не выяснена, но предполагается, что в случае полос v_3 и v_4 возмущения обусловлены резонансом Ферми между v_3 и $v_8 + v_9$ и между v_4 и $v_5 + v_6$. В случае D₂CCO сильное возмущение наблюдается только в полосе v_1 . Определены эффективные величины вращательных и центробежных постоянных возбужденных состояний. М. Р. Алиев

М.Н.

φ 1987, 18, № 9

H₂CCO

On 26044

7987

106: 146228j High-resolution infrared rovibrational studies of the A₁ species fundamentals of isotopic ketenes. Duncan, J. L.; Ferguson, A. M.; Harper, J.; Tonge, K. H.; Hegelund, F. (Dep. Chem., Univ. Aberdeen, Aberdeen, UK AB9 2UE). *J. Mol. Spectrosc.* 1987, 122(1), 72-93 (Eng). The 4 A₁-species fundamentals of H₂CCO were analyzed at a resoln. of 0.05 cm⁻¹. Assignments were made for $J \leq 36$ and $K_a \leq 7$, and asymmetry splittings obstd. for $K_a \leq 2$. Although individual subband analyses can be made, yielding upper state B, C, and E consts., all 4 bands exhibit irregular subband origins such that in no case can an accurate vibrational origin be detd. The rather close-lying perturbing levels can almost certainly be identified but no strictly quant. interpretation of the perturbations can be made. Studies of the spectra of H₂¹³C¹²CO and H₂¹²C¹³CO confirm the origin of these perturbations. They are particularly acute in the cases of v_3 (~ 1387 cm⁻¹), in Fermi resonance with $v_8 + v_9$, and of v_1 (~ 1116 cm⁻¹), in Fermi resonance with $v_5 + v_6$, and $2v_5$ and $2v_6$. In the latter case, it is debatable whether the obstd. band should be called v_1 at all. Analyses of the 2v₈ overtones of the CH₂ rocking fundamentals in the isotopic H₂CCO's show little evidence of the effects of vibrational perturbations. The 4 fundamentals of D₂CCO were studied; only v_1 would appear to be essentially unperturbed.

UK CHEMIST,
Vi

C.A. 1987, 106, 1178.

C₂H₂O

1987

Д 2 Д 72. Колебательный спектр этинола: неэмпирические расчеты и исследования в матрице. Vibrational spectrum of ethynol: ab initio calculation and matrix isolation studies. Dommen Josef, Rodler Martin, Ha Tae-Kyu. «Chem. Phys.», 1987, 117, № 1, 65—72 (англ.)

Неэмпирическим методом ССП МО ЛКАО в базисе 6-31ГФ** с учетом корреляции электронов во втором порядке теории возмущений Меллера—Плессета рассчитано гармоническое силовое поле оксиацетилена (этинола). Приведены колебательные частоты, интенсивности колебательных переходов (получены численным дифференцированием дипольных моментов переходов), константы центробежного искажения. Обнаружено, что учет корреляции электронов для квазилинейных молекул с кратными связями заметно влияет на силовые постоянные деформационных колебаний. Исследованы ИК-спектры реакций OH + CH₃CCN, OH + диацетилен, H + кетен и HCCCOOH с возбужденными атомами Ag с замораживанием продуктов в матрице Ag. Ни одна из них не привела к образованию этинола. Обсуждены механизмы этих реакций.

В. Л. Лебедев

оп. 1988, 18, № 2

H_2CCO

07 27955

1987

† 6 Б1148. Совместное экспериментальное и неэмпирическое определение обобщенного гармонического силового поля кетена. A combined empirical-ab initio determination of the general harmonic force field of ketene. Duncap J. L., Ferguson A. M., Hargre J. Tonge K. H. «J. Mol. Spectrosc.», 1987, 125, № 1, 196—213 (англ.)

Найдены квадратичные силовые постоянные (СП) молекулы кетена H_2CCO путем решения обратной колебательной задачи с привлечением эксперим. данных по частотам колебаний, их изотопич. сдвигам, константам кориолисова взаимодействия и центробежного искажения. При этом часть недиагональных СП фиксировалась при значениях, вычисленных методом ССП в валентно-двуих-экспонентных базисах. Полученные т. о. СП хорошо согласуются с найденными в приближении ССП/6—31 ГФ** и исправленными путем введения эмпирич. масштабирующих множителей. Единственное существенное расхождение двух наборов СП касается постоянной взаимодействия связей СС и СО и объяснено неучетом электронной корреляции в неэмпирич. расчете.

В. Г. Соломоник

Х. 1988, 19, N6

$\text{CH}_2 = \text{C} = \text{O}$

01.27.955

1987

† 3 Д83. Комбинированное эмпирическое и неэмпирическое определение полного гармонического силового поля кетена. A combined empirical — ab initio determination of the general harmonic force field of ketene. Duncanson J. L., Ferguson A. M., Hargreaves J., Tonge K. N. «J. mol. spectrosc.», 1987, 125, № 1, 196—213 (англ.)

Проведены эмпирич. и неэмпирич. расчеты колебательного гармонического силового поля молекулы кетена. Использовались эксперим. значения 27 колебат. частот, 13 частотных сдвигов при изотопич. замещениях, 4 значения кориолисовых постоянных и 14 значений постоянных искажения, измеренные по данным для 5 изотопомеров кетена. Неэмпирич. расчеты проведены по программе TEXAS в базисах 4—21ГФ, 4—31ГФ, 5—31ГФ, 6—31ГФ и 6—31ГФ**. Силовое поле, определенное по совокупности результатов эмпирич. и неэмпирич. расчетов, хорошо воспроизводит все наблюдавшиеся значения колебат. частот кетена.

В. А. Морозов

φ 1988, 18, № 3

H₂CCO

[om. 27955]

1987

107: 207591s A combined empirical - ab initio determination of the general harmonic force field of ketene. Duncan, J. L.; Ferguson, A. M.; Harper, J.; Tonge, K. H. (Dep. Chem., Univ. Aberdeen, Old Aberdeen, UK AB9 2UE). *J. Mol. Spectrosc.* 1987, 125(1), 196-213 (Eng). The general harmonic force field (GHFF) of H₂CCO was detd. through a joint empirical - ab initio investigation. Perturbations in the IR spectra of all isotopic species render exptl. frequency data of limited discriminatory value in the empirical detn. Microwave/IR detd. quartic distortion consts. are mutually incompatible, both within and between isotopic species. The sensitivity of the distortion consts. to truncation and constraints made in their detn. is established in order to make a realistic est. of their reliability in the force const. calcns. Ab initio calcns. performed at various different levels of sophistication predict consistent values for interaction consts., some of which are markedly different from previously reported empirical values. The joint empirical - ab initio GHFF reproduces all obsd. and perturbation-cor. data well over 5 isotopic species. Coriolis interaction consts. were calcd. for H₂CCOH_{2-d}, and -d₂, which will be of assistance to future analyses, particularly of the strongly interacting 4-level systems at <1000 cm⁻¹. Scaled ab initio force consts., calcd. around the exptl. ground-state geometry as ref., are in agreement with the empirical values, with 1 exception, which arises due to neglect of CI.

(all - 10cm.)

C.A. 1987, 107, N22

07.28097 1987

ИД ССО
7 Б1357. Усредненная структура кетена в основном состоянии. The ground state average structure of ketene. Duncanson J. L., Munro B. «J. Mol. Struct.», 1987, 161, 311—319 (англ.)

С использованием лит. данных о врашат. постоянных в основном состоянии 5 изотопомеров кетена, $H_2^{12}C^{12}C^{16}O$ (I), $H_2^{13}C^{12}C^{16}O$ (II), $H_2^{12}C^{12}C^{18}O$ (III), $HD^{12}C^{12}C^{16}O$ (IV), $D_2^{12}C^{12}C^{16}O$ (V) и гармонич. силового поля I, полученного совместным применением эмпирич. и неэмпирич. методов расчета («J. Mol. Spectrosc.», 1987, 125) проведено исправление на ангармоничность нулевых межъядерных структурных параметров I. Проанализировано влияние изотопозамещения на величины геометрич. параметров II—V по сравнению с I. В двухатомном приближении из полученных величин рассчитаны параметры равновесной конфигурации I: $r(CH) = 1,0753(17)$ Å, $r(CC) = 1,3142(5)$ Å, $r(CO) = 1,1609(4)$ Å, $L(HCH) = 121,76(33)$ Å.

Г. М. Курамшина

Структура

(f2)

X. 1988, 19, N 7



ИД ССО, ИД ССО

$\text{CH}_2=\text{C}=\text{O}$

07. 28 097

1987

Г 3 Д67. Усредненная структура кетена в основном состоянии. The ground state average structure of ketene. Duncap J. L., Munro B. «J. Mol. Struct.», 1987, 161, 311—319 (англ.)

Для определения структурных параметров молекулы кетена использованы последние результаты эмпирич. и неэмпирич. расчетов силового гармонич. поля этой молекулы. Получены равновесные значения структурных параметров: $r_e(\text{CH}) = 1,0753(17)\text{\AA}$; $r_e(\text{CC}) = 1,3142(5)\text{\AA}$; $r_e(\text{CO}) = 1,1609(4)\text{\AA}$, $\angle_e(\text{HCH}) = 121,76(33)^\circ$. Отмечается, что при частичном дейтерировании связь СН укорачивается, а длина связи СД превосходит длину связи СН в недейтерированном кетене, также как и длины связей СД в полностью дейтерированном кетене. Рассчитаны значения вращательных постоянных для 5 изотопомеров кетена. В. А. Морозов

и.п.

Ф. 1988, 18, № 3

H₂CCO

1987

(UK)

107: 245478t High resolution infrared analyses of fundamental and overtones in isotopic ketenes. Duncan, J. L.; Ferguson, A. M. (Dep. Chem., Univ. Aberdeen, Old Aberdeen, UK AB9 2UE). *Spectrochim. Acta, Part A* 1987, 43A(8), 1081-6 (Eng). Rovibrational structure in the ν_5 , ν_6 , ν_7 , ν_8 fundamentals and $2\nu_5$, $2\nu_6$ overtones in each of H₂¹²C¹²CO, H₂¹²C¹³CO, H₂¹³C¹²CO was assigned and analyzed. The effects of Fermi resonance between ν_7 and ν_2 are cor. for, and a set of accurate unperturbed vibrational frequencies and ¹³C isotopic frequency shifts therefrom was obtained. The changing effects of the major Coriolis interactions involving the out-of-plane fundamentals, ν_5 and ν_6 , are manifest in varying isotopic displacements of equiv. C branch structures between the isotopic species studied, from which accurate isotopic vibrational shifts were obtained. Variable anharmonic consts. assocd. with the vibration frequencies of $2\nu_5$ and $2\nu_6$ give evidence of major Fermi resonance interactions between both overtones and the ν_4 fundamental, which they straddle.

c.A.1987, 107, n 26

HCCO

1987

106: 185255k The submillimeter-wave spectrum of the ethynyoxy (HCCO) radical. Endo, Yasuki; Hirota, Eizi (Inst. Mol. Sci., Okazaki, Japan 444). *J. Chem. Phys.* 1987, 86(8), 4319-26 (Eng). The pure rotational spectra of the HCCO and DCCO radicals were obsd. in the sub-mm-wave region. The HCCO radical was generated by either the C₂H₂ + O reaction or the H₂CCO + F reaction. The former was about twice as efficient as the latter, and was employed for obtaining DCCO using C₂D₂ as a precursor. The obsd. spectra were fitted to the pattern of a near prolate sym. top with a large A rotational const. The obsd. spin-rotation splittings result in an extremely large ϵ_{nn} const. and exhibit an anomalous K dependence, indicating that there is a low-lying excited electronic state which interacts with the ground state.

(un checked)

C.A. 1987, 106, N22

H_2CCO

1987

21 Б1303. Новые измерения субмиллиметровых вращательных переходов для молекулы кетена (H_2CCO). New measurement of sub-millimetre-wave rotational transitions for the ketene (H_2CCO) molecule. Nemes L., Demaison J., Wlodarczak G. «Acta phys. hung.», 1987, 61, № 1, 135—138 (англ.)

На супергетеродинном субмиллиметровом спектрометре измерен вращат. спектр кетена, H_2CCO , в основном колебат. состоянии. Совместный анализ полученного спектра и МВ-измерений Джонса и др. (Johns J. W. C. et al., «J. Mol. Spectrosc.», 1972, 42, 523) выполнен с использованием двух гамильтонианов Уотсона в A - и S -редукциях с учетом квартичного и секстичного центробежного искажения. Для вращат. постоянных получены значения в МГц в случае A -редукции $A = -282198,0(71,3)$, $B = 10293,913(19)$, $C = 9915,245(19)$ и в случае S -редукции $A - (B + C)/2 = 272093,0(71,3)$, $(B + C)/2 = 10104,5791(33)$, $(B - C) = 377,4150(27)$. Пла-

М.Л.

X·1987, 19, № 21

нируется дальнейшее уточнение вращат. постоянных в основном состоянии с использованием ИК-фурье-спектроскопии. Полученные результаты могут быть использованы при астрофиз. исследованиях. С. Н. Мурзин



CH₂CO

1987

11 Л193. Новые измерения вращательных переходов в субмиллиметровой области для молекулы кетена (H_2CCO). New measurements of sub-millimetre-wave rotational transitions for the ketene (H_2CCO) molecule. Nemes L., Demaison J., Wlodarczak G. «Acta phys. hung.», 1987, 61, № 1, 135—138 (англ.)

С помощью супергетеродинного субмиллиметрового спектрометра изучен чисто вращательный спектр CH₂CO. Вплоть до 800 ГГц измерены частоты вращательных переходов а-типа с $\Delta K_a = 0$. В приближении гамильтониана Уотсона выполнен анализ вращательного спектра CH₂CO. В анализе учтены литер. данные для сантиметровой и миллиметровой областей, комбинационные разности молекулярных постоянных основного состояния, найденные по ИК-спектрам высокого разрешения. В результате анализа переопределены значения молекулярных постоянных для основного колебательного состояния CH₂CO.

В. К.

φ. 1987, 18, n 11

H₂CCO

(on: 27 Oct 84)

1987

107: 66982f New measurements of sub-millimetre-wave rotational transitions for the ketene (H₂CCO) molecule. Nemes, L.; Demaison, J.; Wlodarczak, G. (Res. Lab. Inorg. Chem., Hung. Acad. Sci., Budapest, Hung.). *Acta Phys. Hung.* 1987, 61(1), 135-8 (Eng). Using the superheterodyne submillimeter spectrometer, some hitherto unavailable pure rotational transitions were measured for CH₂CO. The measurements were extended up to almost 800 GHz and contained α -type $\Delta K_a = 0$ transitions. These new data were used in conjunction with centimeter- and millimeter-wave transitions reported in the literature, plus various ground-state combination differences recalled from an earlier high-resoln. IR study of CH₂CO. This data set was used to rederive ground-state rotational consts. for CH₂CO both in the A and S redn. scheme of J.K.G. Watson (1977).

(REVIEWING)

c.a. 1987, 107, n.8

CH_2CO

1988

2 Б4019. Пути реакции диссоциации $\tilde{a}^3A''\text{CH}_2\text{CO} \rightarrow \tilde{X}^3B_1\text{CH}_2 + \tilde{X}^1\Sigma + \text{CO}$. Reaction paths for the dissociation $\tilde{a}^3A''\text{CH}_2\text{CO} \rightarrow \tilde{X}^3B_1\text{CH}_2 + \tilde{X}^1\Sigma + \text{CO}$ / Allen W. D., Schaefer H. F. // J. Chem. Phys.— 1988.— 89, № 1.— С. 329—344.— Англ.

$\partial\rho, \partial_i, \rho_e$

В широком базисе атомных ф-ций (двух-экспоненциальные и четырех-экспоненциальные гауссовые ф-ции с учетом поляризаций АО) и различным уровнем учета электронной корреляции (ограниченный метод Хартри-Фока, учет взаимодействия конфигураций, учет высших возбуждений по теории возмущений) исследована структура Пв потенциальной энергии возбужденных состояний ${}^3A''$ и ${}^3A'$ молекулы CH_2CO . В этих состояниях возможна прямая диссоциация CH_2CO на тройной метилен и молекулу CO в основном состоянии. Расчет различных сечений Пв потенциальной энергии для «плоской» и «неплоской» диссоциации показы-

X. 1989, N 2

вает, что первая обладает истинным переходным состоянием в отношении диссоциации (одна минимая частота). Неплоская конфигурация обладает суперпереходным состоянием (две минимых частоты), к-рая отвечает миним. энергии перехода между двумя эквивалентными переходными состояниями плоской конфигурации. Рассчитанная энергия вертикального возбуждения состояния ${}^3A''$ составляет $T_0 = 19\ 150\ \text{см}^{-1}$, энергия диссоциации оценена в 22,6 ккал/моль, дополнит. барьер диссоциации равен 3—4 ккал/моль. Е. Е. Н.



CH₂CO

1988

109: 138156f Rydberg states of ketene revealed by multiphoton ionization spectroscopy. Ashfold, M. N. R.; Couch, A. D.; Dixon, R. N.; Tutcher, B. (Sch. Chem., Univ. Bristol, Bristol, UK BS8 1TS). *J. Phys. Chem.* 1988, 92(19), 5327-32 (Eng). Rydberg states

of CH₂CO of 54,000-72,000 cm⁻¹ were identified as 2-photon resonances in the multiphoton ionization (MPI) spectra of CH₂CO and CD₂CO. Anal. of the individual band contours, quantum defects, and their dependence upon the polarization (linearly or circularly polarized) of the exciting radiation, detn. of the symmetry of these Rydberg states. All 3 members of the 3p complex, and their attendant vibronic structures were identified. The detection of 2-photon resonances due to Rydberg states was hampered by the weakness of the signal. This is presumably because 1-photon adsorption at near-UV wavelengths results in population of a short lived state, the dissociation of which competes effectively with up-pumping and eventual ionization. No wavelength-dependent resonances attributable to CH₂ radical in its triplet ground state were identified in this wavelength range.

Puglisi.
COCMOCH.

C. A. 1988, 109, N 16.

H₂C₂O

1988

Duncan J. Z.

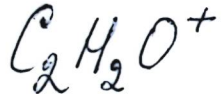
Croat. Chem. Acta 1988,

61(2), 463-72.

cell.

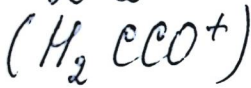
nocev.

(cell. CH₃F; \overline{m})



Lom. 30490

1988



gjac02c M.E.,

Ti,
Li;

J. Phys. and Chem. Ref.

Data, 1988, 17, N2,

429.

H_2CCO

1990

112: 225783p **Microwave spectrum of ketene.** Brown, Ronald D.; Godfrey, Peter D.; McNaughton, Donald; Pierlot, Anthony P.; Taylor, William H. (Cent. High-Resolut. Spectrosc. Opto-Electron. Technol., Monash Univ., Clayton, 3168 Australia). *J. Mol. Spectrosc.* 1990, 140(2), 340-52 (Eng). A new Stark-modulated sub-mm-wave spectrometer is described. This spectrometer was used to analyze the microwave spectrum of 3 isotopomers (heavy atoms) of H_2CCO . The rotational consts. detd. were used to calc. the structure of H_2CCO using a variety of methods. The question of planarity of H_2CCO is addressed. High-resoln. microwave measurements were used to det. the spin-rotation interaction in $H_2C^{13}CO$.

Not checked
Spallam
No cross file

C.A.1990, 112, N 24

$\text{CH}_2 + \text{CO}$

(DM 34950)

1990

Moore C.B., Zheng Q.K.,
et al.,

Phil Trans. Roy. Soc. London
A 1990, 332, N1625, 297-307.

The high-resolution spectroscopy
of dissociating molecules.

H_2CCO

Aihara Jun-Ichi. 1991

et al.

J. Mol. Struct. Theochem.

1991. 228. C. 277-283.

(Cell.  $C_3H_5^-$; III)

on 35304

H₂C₂O Bauschlicher, Ch. W., Jr.,
Langhoff S. R.,
Chem. Phys. Lett., 1991, 177(2),
90,
pparem. 133-8.

Theoretical study of the carbon-
hydrogen bond dissociation

C.A. 1991, 114 N18, 171739Z

energies of methane, acetylene,
ethylene, and ketene ($\text{H}_2\text{C}_2\text{O}$).

C₂H₂O

1991

7 Д166. Существует ли оксирен? Теоретическое исследование, включая использование метода связанных кластеров. Does oxirene exist? A theoretical inquiry involving the coupled-cluster method / Vacek George, Colegrove Brenda Thies, Schaefer (III) Henry F. // Chem. Phys. Lett.— 1991.— 177, № 4—5.— С. 468—470.— Англ.

Неэмпирическим методом ССП МО ЛКАО в базисе гауссовых ф-ций $9s5p1d/4s1p$, сгруппированном в $4s2p1d/2s1p$, а также с учетом корреляции электронов методами конфигурац. взаимодействия и связанных кластеров второго порядка исследовано электронное строение оксирина, C₂H₂O (I), кислородного аналога циклопропена. В наилучшем расчете длины связей CH, CC и CO найдены равными 1,077; 1,284 и 1,504 Å, угол CCH — 161,8°. Приведены колебательные частоты. Обнаружено, что частота деформац. колебания цикла по мере улучшения точности расчета уменьшается до 262 см⁻¹, поэтому не исключена возможность того, что I является переходным состоянием вырожденной пере-

phi. 1991, N 7

группировки его более выгодного изомера — кетена (II) (попытки локализации переходного состояния изомеризации I в II оказались безуспешными). В. Л. Лебедев

баз
A.

Kemeny

1992

H₂C : C : O

118: 29180z The ground state constants of Ethene. Johns, John W. C.; Nemes, Laszlo; Yamada, K. M. T.; Wang, T. Y.; Dornanech, Jose Luis; Santos, Julio; Cancio, Pablo; Bermejo, Dionisio; Ortigoso, Juan; Escribano, Rafael (Herzberg Inst. Astrophys., Natl. Res. Coun. Canada, Ottawa, ON Can. K1A 0R6). J. Mol. Spectrosc. 1992, 156(2), 501-3 (Eng). A reliable set of ground state parameters were obtained from a simultaneous anal. of all the presently available data. About 250 mm-wave rotational data, 1700 fourier-transform combination differences, and 300 difference-frequency combination differences were included.

Справочное
издание

C. A. 1993, 118, NY

LetPub

1992

116: 94649g A theoretical study on the ionic states with analysis of vibrational levels of the photoelectron spectrum of ketene (C_2H_2O and C_2D_2O). Takeshita, Kouichi (Fac. ~~Divisio~~, Tokyo Univ. Agric., Abashiri, Japan 099-24). *J. Chem. Phys.* 1992, 96(2), 1199-209 (Eng). Ab initio calcs. were performed to study the mol. equil. structure and the vibrational levels of the low-lying 5 ionic states, 1^2B_1 , 1^2B_2 , 2^2B_1 , 2^2B_2 , and 2A_1 of ketene (C_2H_2O and C_2D_2O). The theor. intensity curve obtained by the Franck-Condon factors for the ionization transitions are also reported and compared with the photoelectron spectrum of C_2H_2O and C_2D_2O . A no. of new assignments of the vibrational levels of the photoelectron spectrum are proposed.

Изучение ионных состояний
кетена с использованием
аб initio расчетов. Установлены
структурные и колебательные уровни
пяти ионных состояний кетена:

C.A. 1992, 116, N 10

C₂H₂O

1992

2 Б1168. Теоретическое изучение ионных состояний с анализом колебательных уровней фотоэлектронного спектра кетена (C_2H_2O и C_2D_2O). A theoretical study on the ionic states with analysis of vibrational levels of the photoelectron spectrum of ketene (C_2H_2O and C_2D_2O) /Takeshita Kouichi //J. Chem. Phys.—1992.—96, № 2.—С. 1199—1209.—Англ.

Методом конфигурац. вз-вия с учетом одно- и двукратных возбуждений по отношению к нескольким исходным конфигурациям рассчитаны пять низколежащих ионных состояний 1^2B_1 , 1^2B_2 , 2^2B_1 , 2^2B_2 и 2^2A_1 , молекулы кетена C_2H_2O . Использован базис MIDI—4, дополненный поляризац. р-ф-циями на Н и d-ф-циями на С и О. Определены равновесные геометрич. конфигурации и колебат. уровни для C_2H_2O и C_2D_2O . Рассчитаны факторы Франка — Кондона для ионизац. переходов. Результаты согласуются с фотоионизац. спектрами C_2H_2O и C_2D_2O .

Δ Δ Гафонов

X. 1993, № 2

H2 CCD

1994

East A.d.h.,

Ph.D. Stanford University

1994, 334 pp. Advisor

M.X.

copykupa,

Wesley D. Allen

neoprac-

rem Diss. Abst? Int. B 1994,

55, N3, 916-919
1'ell. ANCO; IT)

H₂CCO

1994

121: 144256c The ν_1 band of ketene. Escrivano, Rafael; Domenech, Jose L.; Canico, Pablo; Ortigoso, Juan; Santos, Julio; Bermejo, Dionisio (Instituto de Estructura de la Materia, CSIC, Madrid, Spain 28006). *J. Chem. Phys.* 1994, 101(2), 937-49 (Eng.). IR and Raman spectra of the ν_1 band of ketene, H₂CCO, have been recorded at Doppler resoln. The IR spectrum has been obtained with a difference frequency IR spectrometer, and the Raman spectrum of the Q branches of this band has been recorded using a stimulated Raman spectrometer. The vibrotational anal. of the data is very complicated because of many crossings with other vibrational states, which can interact with $\pi = 1$ through Fermi or Coriolis mechanisms. The authors present a discussion on global and local resonances, and the authors are able to ext. information on the perturbing levels and on the perturbation parameters, even though the perturbing bands are not always detected in the spectrum.

(uk, C.R., D.J.)

C.A. 1994, 121, N 12

CH₂ CO

1994

24 Б1231. Фотодиссоциация кетена. Распределение по вращательным состояниям $\text{CH}_2(\tilde{\alpha}^1\text{A}_1)(0,0,0)$. Photodissociation of ketene: $\text{CH}_2(\tilde{\alpha}^1\text{A}_1)(0,0,0)$ rotational state distributions /Garcia-Moreno I., Lovejoy E. R., Moore C. B. //J. Chem. Phys. —1994.—100, № 12.—С. 8890—8901.—Англ.

Исследована фотодиссоциация охлажденного в сверхзвуковой струе кетена CH₂CO над действием излучения импульсного лазера, перестраиваемого в области от порога образования продуктов $\text{CH}_2(\tilde{\alpha}^1\text{A}_1, 000) + \text{CO}$ ($X^1\Sigma^+$) до энергий на 2900 см^{-1} выше этого порога. Распределение образующихся радикалов $\text{CH}_2(\tilde{\alpha}, 000)$ по вращат. уровням определялось по спектрам лазерной ФЛ. Кроме того, измерены пороги появления и кривые выхода для отдельных вращат. состояний.

В. М. Ковба

М.Н.

~~(4)~~ CH₂

X-1994, N24

$\text{CH}_2 \text{CO}$

1994

Garcia-Morero I.,
Lovejoy E. R. et al.

M. N. J. Chem. Phys. 1994,
100, N 12. C. 8902 -
8906. (eeer. CH_2 ; II)

CH₂CO

1994

№ 4 Б1045. Изучение многоконфигурационным методом ССП фотохимии кетена и его изомеров. An MC-SCF study of the photochemistry of ketene and its isomers /Yamamoto Naoko, Robb Michael A., Olivucci Massimo //Eur. Res. Conf. «Theor. Models Chem. React.: Modell. Photochem. React.» San Feliu de Guixols, 8—13 Sept., 1994: Book Abstr. .—S. L. ,1994 .—C. P48 .—Англ.

Процессы фотохим. превращений кетена (диссоциации/изомеризации) $\text{CH}_2\text{CO}({}^1\text{A}_1) \xrightarrow{\text{h}\nu} \text{CH}_2({}^1\text{A}_1) + \text{CO}({}^1\Sigma^+)$ и $\text{CH}_2\text{CO}({}^1\text{A}_1) \xrightarrow{\text{h}\nu} \text{CH}_2({}^3\text{B}_1) + \text{CO}({}^1\Sigma^+)$ исследованы многоконфигурац. методом ССП с использованием поляризац. и диффузных функций.

М.Н.

X.1995, N 4

1995

F: CH₂CO

P: 3

5Б1145. Ангармоническое силовое поле и равновесная молекулярная структура кетена. The anharmonic force field and equilibrium molecular structure of ketene / East Allan L. L., Allen Wesley D., Klippenstein Stephen J. // J. Chem. Phys. - 1995. - 102, N 21. - C. 8506-8532. - Англ.

PMX 1997

Неэмпирическими методами (в рамках МП2, метода связанных кластеров) определено полное квартичное силовое поле для молекулы кетена, воспроизводящее все наблюдаемые фундаментальные колебательные частоты изотопомеров кетена с точностью, не превышающей нескольких см⁻¹. Получена полная и самосогласованная система констант колебательной ангармоничности, колебательно-вращательных взаимодействий, констант квартичного и секстетных центробежных искажений и постоянных Кориолиса наряду с частотами колебаний и параметрами структуры. Библ. 160.

$H_2 C = C = O$

1995

№ 18 Б1143. Молекулярная структура и колебательный ИК-спектр кетена. Сравнение традиционного неэмпирического метода, выходящего за пределы приближения Хартри—Фока, и метода функционала плотности. Molecular structure and vibrational IR spectrum of ketene. Comparison of conventional ab initio post-Hartree—Fock and density functional theory calculations / Kwiatkowski Józef S., Leszczyński Jerzy // J. Mol. Struct. Theochem. — 1995 .— 342 .— С. 43—49 .— Англ.

Представлены результаты сравнительного изучения мо-

м.п.

Х. 1996, № 18

лек. параметров (равновесной геометрии, вращат. по-
стоянных, дипольных моментов) и ИК-спектра кетена
 $\text{H}_2\text{C}=\text{C}=\text{O}$ двумя квантово-мех. методами — в рамках
приближения МП2 (с учетом валентных и оставных
электронов) и функционала плотности ФП (В3—LYP) с
использованием базисов 6—31 ГФ (d, p), 6—311 ГФ (d,
p) и 6—311 ГФ (3df, 2p). Показано, что расчет методом
МП2 дает несколько лучшее согласие с экспериментом,
чем метод ФП. Отмечено, что оба метода с использо-
ванием расширенного базиса 6—311 ГФ (3df, 2p) хоро-
шо предсказывают эксперим. ИК-спектр молекулы. Пра-
вильно воспроизведены также сдвиги положений колебат.
полос при изотопическом замещении.

Н. С.

1996

F: C₂H₆
P: 3

16Б189. Неэмпирическое изучение [методами ХФ, МП2 и квадратичным методом КВ] поверхности потенциальной энергии C[3]H[2]O. Механизм образования и разложения пропиналя. An ab initio study of the C[2]H[2]O potential surface: A mechanism for propynal formation and destruction / Ekern Scott, Szczepanski Jan, Vala Martin [Journal of Physical chemistry] // J. Phys. Chem. - 1996. - 100, N 40. - С. 16109-16115. - Англ.

Место хранения ГПНТБ

РНСХ 1997

1996

F: CH₂CO

P: 3

2Б1239. Инфракрасная спектроскопия кетена при использовании двухступенчатой фотодиссоциации. Infrared spectroscopy of ketene by two-step photodissociation / Ni Chi-Kung, Wade Elisabeth A., Ashikhmin Michael V., Moore C. Bradley // J. Mol. Spectrosc. - 1996. - 177, N 2. - С. 285-293. - Англ.

Методом ИК-УФ-двойного резонанса с использованием импульсного УФ-фотолиза с импульсным молекулярным пучком измерены ИК-спектры кетена в области частот 3526-3538 и 3257-3277 см⁻¹ соотв. для комбинационных полос 'ню'[2]+'ню'[3] и 'ню'[2]+'ню'[4]. Благодаря низкой вращательной т-ре вплоть до 4К выполнен вращательный анализ спектров поглощения и произведено отнесение частот. Полученные спектроскопич. постоянные сопоставлены с результатами неэмпирич. расчетов.

РМХ 1997

1996

F: CH₂CO

P: 3

37. 13Б170. Электронные состояния кетена. Electronic states of ketene / Szalay Peter G., Csaszar Attila G., Nemes Laszlo // J. Chem. Phys. - 1996. - 105, № 3. - С. 1034-1045. - Англ.

Несэмпирическим методом ССП с учетом электронной корреляции в различных схемах и использованием больших гауссовых базисов исследовано электронное строение кетена в нескольких десятках синглетных и триплетных состояний. Приведены вертикальные энергии возбуждения и ионизации, равновесная геометрия, потенциальные кривые. Проведена детальная интерпретация электронных спектров. Библ. 93.

РМХ 1997

1998

H₂C:C:O

FTIR-CRCP
Krausam
Aharay

129: 101355g Analysis of the high resolution spectra of the ν_5 and ν_6 bands of ketene. Campina, Maria C.; Domingo, Elena; Fernandez-Liencres, Maria P.; Escribano, Rafael; Nemes, Laszlo (Departamento de Quimica Fisica y Analitica, Facultad de Ciencias, Universidad de Jaen, Jaen, Spain E-23071). *An. Quim. Int. Ed.* 1998, 94(1), 23-26 (Eng), Springer-Verlag Iberica. The high resoln. FTIR spectrum of H₂C:C:O was analyzed at 330-650 cm⁻¹. The ν_5 and ν_6 fundamental bands appear in this region, centered at 587 and 526 cm⁻¹, resp. More than 1500 individual rovibrational transitions were assigned. The obsd. wavenos. are used as data for a least squares refinement of the vibrational band origins and rotational parameters of the $\nu_5 = 1$ and $\nu_6 = 1$ states. Although a strong Coriolis perturbation is detected with the nearby $\nu_9 = 1$ state, the effective parameters refined in this work are evaluated with good accuracy and lack of strong correlations. An est. of the dipole moment ratio for the 2 vibrations agrees with a more precise previous detn.

CA 1998, 129, 128

HCCO

Om. 39993

1999

DCCD

Brock L.R., Mischler B.
et al.,

layer-wy44
cerekp. J. Chem. Phys., 1999,
Phys.,
 $\tilde{\beta}^{27-X^2A''}$, N14, 6773...
(1cm³)

HCCO

1999

KONJAN ·
CHEMP,
ab initio

131: 25131e Ab initio investigation of the vibronic spectrum involving the two lowest-lying electronic states of HCCO. Schäfer, Boris; Peric, Miljenko; Engels, Bernd (Institut für Physikalische und Theoretische Chemie, Universität Bonn, Wegelerstrasse 12, D-53115 Bonn, Germany). *J. Chem. Phys.* 1999, 110(16), 7802–7810 (Eng), American Institute of Physics. The results of ab initio calcns. of the vibronic spectra involving both lowest-lying states X^2A'' and A^2A' of the ketenyl radical HCCO are presented. Potential energy surfaces are computed by the coupled cluster method with perturbative triple corrections [CCSD(T)]. A recently developed ab initio approach for the treatment of the Renner-Teller effect in tetra-at. asym. mols. is applied to calc. the vibronic energy levels.

C.-A., 1999, 131, N2.

CH_2CO

[Om. 40290]

2000

Nemes d., Leckhaus S.
et al.,

J. Mol. Struct., 2000,
577-578, 217-226.

Deperturbation ● of the loss-

Frequency infrared modes of
Ketene (CH_2CO)

HC-CO-R [Om. 40712]

2001

Anthony P. Scott,

Matthew S. Platz et al.,

J. Am. Chem. Soc. 2001,

123, N²⁵, 6069-6076.

Singlet-Trip  let splitting

and Barriers to Wolff
Rearrangement for
Carbonyl Compounds.



CH_2CD^+
 $\text{C}_2\text{D}_2\text{CD}^+$

(Om. 41482), 41685 2002

Shi liang Wang et al.,

$\tilde{\chi}\text{Bjocholt}$. J. Chem. Phys., 2002,
COCM. 117, N¹⁴, 6546 . . .

Nonresonant two-photon
mass analyzed threshold

ionization and zero kinetic energy photoelectron investigation of the $\chi^2 A$ ground state of CH_2CD^+ and CD_2CD^+ .

[Dm. 41321]

2002

$\delta_0(\text{CH}_2=\text{CO}^+)$ Willitsch S.
Imbach L.L. et al.,
J. Chem. Phys., 2002,
117, N5, 1939–1940